



UNIVERSITAT  
POLITÈCNICA  
DE VALÈNCIA



Departament de Sistemes Informàtics i Computació  
Universitat Politècnica de València

# **Generación procedural de modelos tridimensionales de naves espaciales**

**TRABAJO FIN DE MÁSTER**

Máster Universitario en Inteligencia Artificial, Reconocimiento de Formas e  
Imagen Digital

*Autor:* Joaquim Àngel Montell Serrano

*Tutor:* Francisco José Abad Cerdá

Curso 2016-2017



# Resum

El creixement desmesurat de la indústria gràfica, ha provocat que cada vegada es necessiti més contingut i de millor qualitat. A més, la generació d'aquest contingut és molt laboriosa i costosa, donant lloc a empreses dedicades enterament a aquesta tasca. En aquest treball, s'ha proposat el investigar com fer una eina de disseny 3D utilitzant tècniques de generació per procediments per ajudar els creadors d'aquest contingut

**Paraules clau:** Generació per procediments, OpenGL, Modelatge 3D, Qt

---

# Resumen

El crecimiento desmesurado de la industria gráfica, ha provocado que cada vez se necesite más contenido y de mejor calidad. Además, la generación de este contenido es muy laboriosa y costosa, dando lugar a empresas dedicadas enteramente a esta tarea. En este trabajo, se ha propuesto el investigar cómo hacer una herramienta de diseño 3D utilizando técnicas de generación por procedimientos para ayudar a los creadores de este contenido

**Palabras clave:** Generación por procedimientos, OpenGL, Modelado 3D, Qt

---

# Abstract

The excessive growth of the graphic industry has led to the need for more content with better quality. In addition, the generation of this content is very laborious and expensive, giving rise to companies dedicated entirely to this task. Here, we will investigate how to make a 3D design tool using techniques of procedural generation to help the creators of this content

**Key words:** Procedural generation, OpenGL, 3D Modeling, Qt

---



# Índice general

---

<b>Índice general</b>	<b>v</b>
<b>1 Introducción</b>	<b>1</b>
1.1 Motivación . . . . .	1
1.2 Objetivos . . . . .	1
1.3 Estructura de la memoria . . . . .	1
<b>2 Estado del arte</b>	<b>3</b>
2.1 Breve historia de la PCG . . . . .	3
2.1.1 Fractales, ruido y <i>L-systems</i> . . . . .	4
2.2 Ciudades . . . . .	5
2.3 Edificios . . . . .	6
2.4 Naves . . . . .	7
<b>3 Tecnología utilizada</b>	<b>11</b>
3.1 OpenGL . . . . .	11
3.2 Qt . . . . .	11
3.3 PGUPV . . . . .	12
<b>4 Metodología</b>	<b>13</b>
4.1 Estructura de la nave . . . . .	13
4.2 Prototipo semiautomático . . . . .	13
4.2.1 Gramáticas . . . . .	13
4.2.2 Generación de la silueta . . . . .	14
4.2.3 Generación de anillos . . . . .	15
4.2.4 Generación de malla . . . . .	15
4.2.5 Resultados . . . . .	16
4.3 Prototipo paramétrico . . . . .	17
4.3.1 Generación de anillos . . . . .	17
4.3.2 Generación de malla . . . . .	17
4.3.3 Resultados . . . . .	17
4.4 Programa de diseño asistido por ordenador (CAD) . . . . .	17
4.4.1 Curvas de Bézier . . . . .	18
4.4.2 Superficies de Bézier . . . . .	20
4.4.3 Generación de la malla . . . . .	21
4.4.4 Gestor de escenas . . . . .	23
4.4.5 Interfaz . . . . .	23
<b>5 Evaluación de resultados</b>	<b>29</b>
<b>6 Conclusiones</b>	<b>31</b>
<b>7 Propuestas de futuro</b>	<b>33</b>
7.1 Generación de naves . . . . .	33
7.2 Programa CAD . . . . .	33
<b>Bibliografía</b>	<b>35</b>

---

Apéndices

<b>A Gramática completa</b>	<b>37</b>
<b>B Curvas de Bézier</b>	<b>39</b>
<b>C Teselación de un parche de Bézier</b>	<b>51</b>
<b>D Subdivisión de una cinta en parches</b>	<b>71</b>

---

---

# CAPÍTULO 1

## Introducción

---

### 1.1 Motivación

---

Uno de los grandes costes de la industria creativa que usa herramientas digitales consiste en la generación de modelos. Debido a la mejora en las técnicas de *renderizado*, cada vez se piden unos modelos con más nivel de detalle, llegando al punto en el que no se pueda distinguir entre gráficos de ordenador y mundo real.

De esta misma forma, sobre todo en la industria de los videojuegos, se están pidiendo mundos cada vez más grandes llegando a tener escala real. Algunos ejemplos podrían ser juegos como las sagas de *Grand Theft Auto* o *The Elder Scrolls*. Los mundos de estos juegos llegan a tener una gran cantidad de modelos para que exista algo de variedad y que no cree una experiencia repetitiva.

Estos dos factores hacen que trabajar en este sector requiera de un gran número de empleados dedicándose a la tarea exclusiva de generar contenido gráfico reduciendo el presupuesto en otras áreas como, por ejemplo, el desarrollo de mecánicas complejas o de una trama más elaborada.

Por otro lado, tenemos las llamadas empresas *indie* que suelen constar de un grupo muy reducido de personas y con poco presupuesto. Este colectivo se suele caracterizar como el opuesto de las grandes compañías, dicho de otro modo, son empresas que invierten más en las mecánicas o en el desarrollo de la historia aunque terminen con unos gráficos más pobres.

La tecnología investigada en este trabajo es de especial interés para que estas empresas con menos personal puedan generar más y mejores modelos tridimensionales.

### 1.2 Objetivos

---

En este trabajo fin de máster se plantean dos objetivos principales:

- Investigar sobre la generación de modelos de naves mediante algoritmos
- Creación de una plataforma para el diseño asistido de modelos de naves espaciales

### 1.3 Estructura de la memoria

---

Esta memoria se divide en 7 partes:

- **Introducción:** Se declaran la motivación, los objetivos del proyecto y se realiza esta descripción de la memoria.
- **Estado del arte:** Se describen las aplicaciones y algoritmos existentes en este campo y algunos de otros campos relacionados.
- **Tecnología utilizada:** Donde se describe que tecnologías se han utilizado y la funcionalidad que ofrecen.
- **Metodología:** Definiremos el trabajo que se ha realizado y como se ha estructurado
- **Evaluación de resultados:** Se realiza una comparación entre los resultados obtenidos y los objetivos propuestos
- **Conclusiones:** Se hablará de los mecanismos que se han utilizado para comparar nuestro programa con otros existentes y se hará una reflexión sobre los resultados obtenidos
- **Propuestas de futuro:** Se describirán distintas mejoras e implementaciones interesantes para incluir.
- **Anexos:** Se han incluido aquellos aspectos relevantes de las aportaciones realizadas en este trabajo de fin de máster. Estos anexos son:
  - **Anexo A:** La gramática completa descrita en el apartado 4.2.
  - **Anexo B:** La librería que se ha desarrollado para el manejo de las curvas de Bézier. Se entrará en más detalle en el apartado 4.4.
  - **Anexo C:** Código relacionado con la aportación realizada para la teselación de la malla. La explicación de este algoritmo la podemos encontrar en el apartado 4.4.3.
  - **Anexo D:** Código desarrollado para la subdivisión de una cinta en las distintas formas seleccionadas. Se ha explicado este algoritmo en el apartado 4.4.3.



---

---

## CAPÍTULO 2

# Estado del arte

---

La generación de contenido por procedimientos (PCG, del inglés *Procedural Content Generation*) hace referencia a la generación de contenido de forma autónoma o con una intervención limitada por parte del usuario. Generalmente, se han utilizado estas técnicas para generar terrenos o niveles pero también se han dado casos en otras áreas. A continuación, describiremos brevemente la historia de la PCG.

### 2.1 Breve historia de la PCG

---

Uno de los primeros usos de la PCG fue por la década de los 70. En este periodo de tiempo se crearon dos juegos similares. El primero se llama *Beneath the apple manor* y se creó en 1978 mientras que el segundo es *Rogue* que tuvo tanta fama que dio lugar a todo un género de juegos conocidos como *Roguelike*. La característica que los hace similares es, sin duda, la mecánica del juego. Como jugador, debes recorrer una mazmorra que se genera cada vez que empiezas la partida. Esto solucionaba uno de los grandes problemas de la época que consistía en la falta de espacio puesto que no necesitaba almacenar los distintos niveles. De este mismo modo, se conseguía que cada partida fuese única y diferente, lo que causó, en gran medida, su éxito.

Mas adelante, se crearon juegos con mecánicas para generar los objetos dándoles estadísticas aleatorias o, incluso, generando el modelo de tal forma que distintas partes aportan distintos modificadores. Con esto se consigue dar al jugador un equipo que pueda estar totalmente personalizado a su forma de jugar. Como posibles juegos de esta categoría tenemos los de la saga *Diablo* (años 1996, 2000 y 2012) o saga *Borderlands* (años 2009, 2012 y 2014).

Otro tipo de juegos que han tenido una gran expansión en los últimos años donde se hace un gran uso de la PCG son los *Survival sandbox*. Estos juegos permiten al jugador modificar un mundo generado aleatoriamente, generalmente compuesto de una unidad mínima llamada *voxels*, con total libertad, al mismo tiempo que presenta un reto para la supervivencia (el jugador tiene que buscar comida, defenderse de ciertos enemigos o, incluso, contra otros jugadores). Quizás, el juego más famoso de esta categoría sea el *Minecraft* (2011) pero se han creado muchos mas juegos de este estilo, algunos, como el *Terraria* (2011) que presenta el mismo concepto pero más orientado al combate, o juegos que presentan la misma temática pero cambiando la ambientación, como el *Rust* (2013). Hay un juego en especial, llamado *No Man's Sky* (2016), de esta categoría que ha intentado ir más allá añadiendo, a parte del terreno, modelos de fauna y flora generados por procedimientos.

A parte de estos dos grandes grupos, la PCG se ha utilizado en otros campos de forma dispersa como en el *Left 4 dead* (2008) donde se controlaba la generación de recursos y enemigos para mantener el interés del jugador o *Spore* donde, al ser el usuario el que crea el modelo, se necesita generar las animaciones al vuelo.

Además de su uso en los videojuegos, la PCG también ha tenido su influencia en las películas con una técnica nombrada "fábrica imperfecta" (*imperfect factory* en inglés). Con esta técnica, el usuario puede generar un modelo y aplicarle modificaciones para crear un sinnúmero de objetos similares para dar una gran profundidad a las escenas.

### 2.1.1. Fractales, ruido y *L-systems*

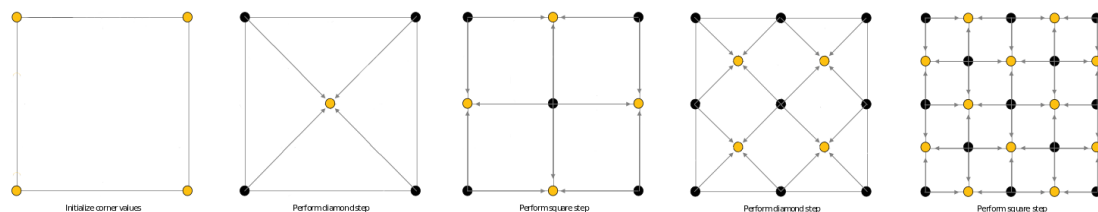
Las técnicas más utilizadas en la PCG son el uso de fractales, ruido o los llamados *L-systems*[1]. A continuación, explicaremos brevemente en qué consiste cada uno de ellos.

En las matemáticas, los fractales son objetos geométricos con una estructura que se repite a distintas escalas. Esta propiedad es llamada autosimilitud que, dependiendo del grado de similitud de los fragmentos al todo, se clasifican en tres tipos: autosimilitud exacta, cuasiautosimilitud, autosimilitud estadística.

La idea básica que surgió para aplicar los fractales a la PCG se encuentra en la pregunta de cómo generar montañas. Si observamos una piedra suelta de una montaña y la comparamos con la misma, podemos observar que comparten una estructura similar. A partir de esta idea, han surgido una serie de algoritmos como son:

- Desplazamiento del punto medio: algoritmo para dos dimensiones, que se puede adaptar para tres y que consiste en desplazar el punto medio de un segmento en una cantidad aleatoria dentro de un rango, que se reducirá en cada iteración. Este proceso lo repetiremos hasta que la longitud de los segmentos sea suficientemente pequeña
- *Diamond-Square*: Algoritmo donde se parte de un cuadrado y que, cada iteración se divide en dos fases. La primera fase es la llamada *diamond* y consiste en generar la altura del punto medio de las diagonales de cada cuadrado. Esto lo hacemos calculando la media de las cuatro esquinas y sumándole un número aleatorio como en el anterior algoritmo.

Para la siguiente fase, *Square*, calculamos la altura de los puntos que se encuentran en el punto medio de las aristas. Para ello, utilizamos la misma técnica que en el paso anterior pero utilizando, además, los puntos generados. Para terminar, repetimos reduciendo el rango aleatorio en cada iteración.



**Figura 2.1:** Ejemplo de las fases del algoritmo Diamond-Square para una rejilla de 5x5

La siguiente técnica consiste en generar un ruido pseudoaleatorio utilizando una función matemática. El primero en utilizar esta técnica fue Ken Perlin que creó la función de *Perlin noise*[2] para la generación de texturas. Con esta función se generan valores continuos pero con una apariencia aleatoria. El éxito que ha obtenido se debe a su gran

versatilidad dando la posibilidad de trabajar con tantas dimensiones como se quiera. Algunos ejemplos de su uso podrían ser la película *Tron* para la cual fue creada o el juego *Minecraft* donde se utiliza tanto para generar el terreno como las nubes[8].

Mas adelante, Perlin creó una función llamada *Simplex noise* que eliminaba los artefactos que generaba su versión anterior. Además, tenía un coste computacional más bajo y escala mucho mejor con un número mayor de dimensiones  $O(n^2)$  frente a  $O(2^n)$ . Perlin, patentó esta función con lo que surgió una versión libre llamada *OpenSimplex noise*.

La última técnica mencionada, L-systems o un sistema de Lindenmayer, es un tipo de gramática formal consistente de un alfabeto de símbolos, una serie de reglas de producción, el axioma inicial y un mecanismo para traducir las cadenas que se generan a estructuras geométricas. Lindenmayer utilizó este sistema como forma de describir el crecimiento de organismos multicelulares.

Estas gramáticas al tener una naturaleza recursiva, dan lugar a la autosimilitud con lo que facilitan la descripción de fractales. Por otro lado, la plantas, se pueden definir fácilmente con estas estructuras puesto que, al añadir más niveles de recursión, se genera el efecto de que la planta crece. Más usos que se le han dado a estas gramáticas han consistido en el modelado por procedimientos de ciudades[7] y en el de edificios[3]

## 2.2 Ciudades

La creación de una red de carreteras para una zona urbana es una tarea compleja dado que presenta una estructura artificial pero, a la vez, tiene una serie de restricciones dadas por el terreno, el tipo de distrito (comercial, residencial ...), etc.

Uno de los primeros en proponer un sistema para su generación fueron Parish y Müller [7]. Ellos proponen una solución basada en un *L-System*. Empezando con un único segmento de calle, se van añadiendo más segmentos hasta construir el mapa completo, de forma similar a la creación de un árbol.



Figura 2.2: Ejemplo del algoritmo de Parish y Müller. Imagen extraída de [7]

El siguiente método consiste en utilizar una serie de agentes para esta tarea por parte de Thomas Lechner et al. Para esta tarea, se utilizan dos tipos de agentes: extensores y conectores. Los primeros se encargan de crear nuevos segmentos de carreteras. Los

segundos tienen como tarea crear calles secundarias. Para ello, elige un punto aleatorio en el camino y, en caso de no poder alcanzarlo en una distancia máxima, crea un nuevo camino.

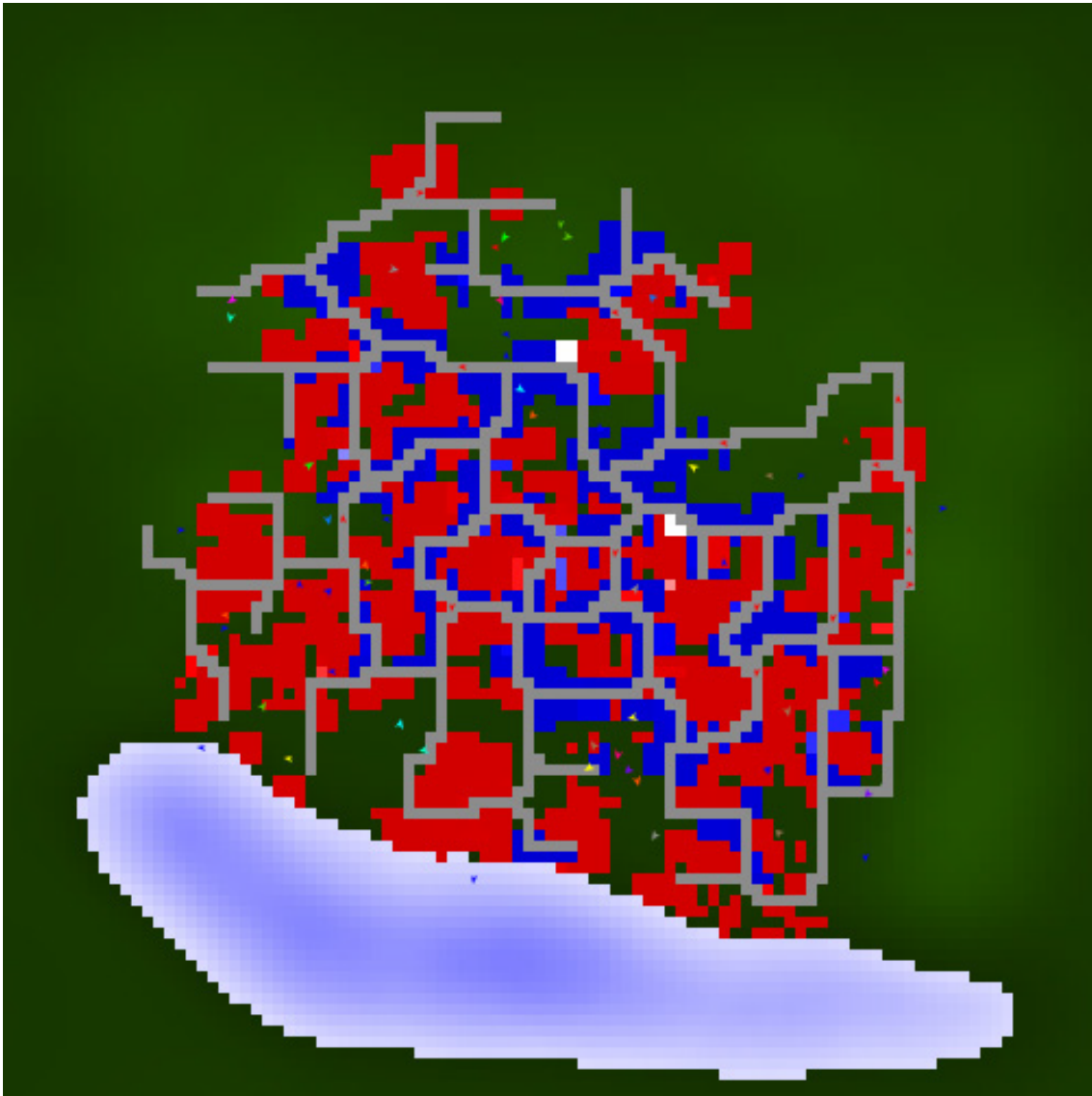


Figura 2.3: Ejemplo del algoritmo de Thomas Lechner et al. Imagen extraída de [5]

## 2.3 Edificios

Mientras que Parish y Müller trataban de generar una ciudad con edificios utilizando operaciones booleanas entre formas simples, Wonka et al. intentaban dar detalle a las fachadas de los edificios[4]. Para ello, crearon un nuevo tipo de gramáticas llamado *split grammars* basadas en las *shape grammars*. De esta forma, se conseguía dar coherencia vertical en, por ejemplo, balcones y material o coherencia horizontal en el estilo de las ventanas.

Sin embargo, este algoritmo solo es práctico para modelos sencillos. En el caso de un modelo más complejo, esto no funcionaría debido a la posibilidad de solapes entre los distintos volúmenes del edificio como se puede observar en 2.5. Para estos casos Müller et al. [3], proponen un algoritmo donde solucionan dos problemas. Primero, la creación





Figura 2.4: Ejemplo del algoritmo de Wonka et al. Imagen extraída de [4]

del volumen de este edificio y, segundo, las limitaciones del anterior algoritmo. Por un lado, utilizan una gramática de formas con una librería para generar las estructuras y, una vez generada la fachada, utilizan un sistema de control donde modifican este resultado para hacer encajar las distintas estructuras generadas al espacio disponible.



Figura 2.5: Ejemplo del algoritmo de Müller et al. Derecha, problemas con los algoritmos tradicionales, izquierda, resultado de su aproximación. Imagen extraída de [3]

## 2.4 Naves

---

Para terminar con el estado del arte, se pasa a hablar sobre las aplicaciones existentes acerca de la generación de modelos de naves. Mayormente, estas aplicaciones utilizan

algoritmos de síntesis para generar el modelo. Mientras que esto consigue un resultado bastante vistoso con poco esfuerzo, suelen tener el problema de ser muy repetitivos o necesitan tener una base muy grande para tener suficiente variedad. Las aplicaciones encontradas son tres:

- *ShapeWright*: Es una página web creada utilizando *WebGL* que permite la generación de una nave a partir de una cadena de texto. No se ha encontrado información sobre el algoritmo usado, pero una aproximación puede ser como sigue:
  1. Seleccionar una pieza central de forma aleatoria.
  2. Seleccionar una pieza de cuerpo o de complemento y ponerla en uno de los puntos de anclaje.
  3. Repetir el paso anterior un número de veces determinado (puede que hasta terminar los puntos de anclaje).

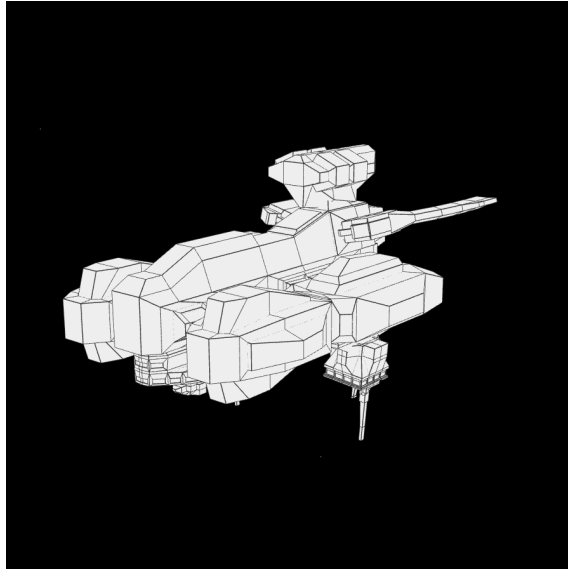
Como notas adicionales, hay que tener en cuenta que:

- La pieza central es simétrica.
- Las piezas se ponen por duplicado y de forma simétrica.

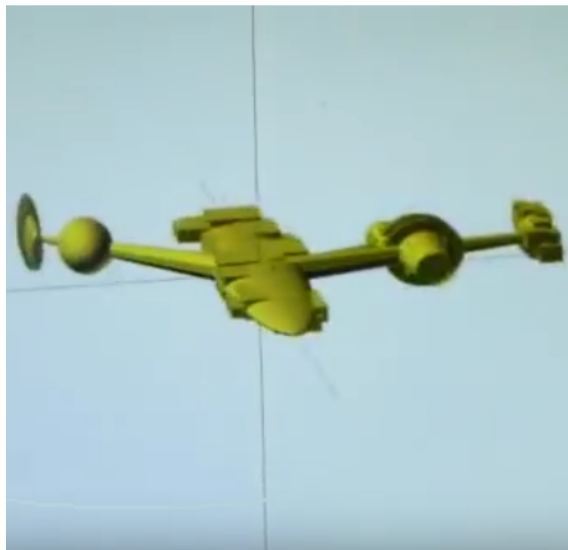
Este algoritmo tiene una gran simplicidad pero, como mayor desventaja, necesita crear una gran cantidad de partes para poder generar modelos de formas variadas. Además, es necesario mantener una lista de puntos de anclaje lo que aumenta considerablemente el trabajo. De la misma forma, no dispone de ningún sistema para evitar intersecciones entre las distintas piezas.

- *Ship-not-even-wrong*: en este caso nos encontramos con un programa de código abierto (aunque parece que ha desaparecido el repositorio) escrito en c. Este está inspirado en el anterior y sigue un sistema similar. La gran diferencia consiste en que cada pieza es generada en tiempo de ejecución utilizando figuras geométricas simples. Esto le da un aspecto más rudimentario aunque, en realidad, la complejidad ha aumentado bastante.
- *Spaceship Generator*: en este caso nos encontramos con un *script* en python para blender. Su funcionamiento es totalmente distinto de los anteriores. En lugar de ensamblar la nave, la construye utilizando extrusiones. Los pasos que realiza son:
  1. Empieza con una caja.
  2. Construye el cuerpo haciendo extrusiones en la parte delantera y trasera mientras aplica transformaciones aleatorias.
  3. Añade asimetría al cuerpo aplicando extrusiones a algunas caras.
  4. Añade detalles como motores, antenas o armas dependiendo de la orientación de cada cara.
  5. Añade un modificador de bisel para la forma.
  6. Añadir materiales.

Con este método consigues eliminar el problema de depender de una biblioteca de partes pero, al empezar siempre con un cubo, la forma general que nos resultará será siempre similar. Por otra parte, al utilizar detalles ya generados, no se consigue eliminar totalmente la biblioteca de partes.



**Figura 2.6:** ShapeWright example.



**Figura 2.7:** Ship-not-even-wrong example.



**Figura 2.8:** Spaceship Generator example.





---

---

## CAPÍTULO 3

# Tecnología utilizada

---

### 3.1 OpenGL

---

OpenGL define una API (Interfaz de programación de aplicaciones, en inglés *Application Programming Interface*) multilenguaje y multiplataforma para aplicaciones gráficas 3D. Esta API fue creada por Silicon Graphics Inc en 1992 para ocultar la complejidad de la interfaz con las distintas tarjetas gráficas y sus diferentes capacidades.



Con esto dicho, OpenGL no presenta una implementación de las distintas funciones que define pues son los fabricantes del hardware quien se encarga de ello. OpenGL solo define un grupo de funciones y cómo se han de comportar.

Esta tecnología se ha elegido, principalmente, por dos razones:

- Es multiplataforma.
- Se estudia durante el máster reduciendo el tiempo de aprendizaje.

### 3.2 Qt

---

Qt es un framework multiplataforma para extender el lenguaje c++ con *signals* y *slots*. Para conseguir esto, Qt proporciona un pre-procesador que analiza los archivos de código fuente y genera código c++ estándar antes del compilado. De esta forma, se hace posible compilar las aplicaciones desarrolladas con cualquier compilador.



De la misma forma, Qt proporciona un librería para trabajar con interfaces gráficas, así como un contenedor de bibliotecas como OpenGL. También dispone de clases y funciones como las que se pueden encontrar en la C++ *Standard Library*

Por otro lado, es una librería con un uso muy extendido, por lo que tiene un gran soporte y una gran comunidad expande su funcionalidad creando más contenido que se pueda incluir en un proyecto.

Además dispone de un IDE (entorno de desarrollo integrado) que proporciona una funcionalidad similar a los IDEs más usados (*e.g.*, Visual Studio) incluyendo funcionalidad para trabajar con las características añadidas de Qt. Además, es muy liviano dando una respuesta en tiempo real en funciones, por ejemplo, el auto-completado de código.

Sin embargo, el puente que nos ofrece con OpenGL no nos da toda la funcionalidad que necesitamos. Como ejemplo de esto, podemos encontrar que no ofrece funcionalidad para la lectura de los buffers que se utilizan para mostrar la pantalla. Debido a estos inconvenientes, se ha decidido a cambiar a PGUPV

### 3.3 PGUPV

PGUPV es una librería desarrollada dentro de la UPV, por el profesor Francisco José Abad, para la asignatura de programación gráfica. Esta librería nos proporciona un enmascaramiento de la funcionalidad de OpenGL para poder utilizarla trabajando con clases de C++. Además nos ofrece la posibilidad de incluir una interfaz gráfica simple pero suficiente para nuestra aplicación.

El mayor inconveniente que nos presenta esta librería es la falta de soporte para múltiples ventanas. Por esta razón, se ha utilizado un método típico en el desarrollo de videojuegos. Esto es, para evitar abrir una nueva ventana, se utilizan una serie de escenas y solo se muestra una de ellas. Cada una de estas, puede ser, por ejemplo, la pantalla de juego, el menú principal o la ventana de opciones. Por esta razón se ha tenido que implementar un gestor de escenas que se encargará de mostrar la escena activa y cambiarla cuando sea necesario.

Además de esto, se ha tenido que implementar la funcionalidad para una serie de widgets que no ofrece esta librería como puede ser el cuadro de texto o los llamados controles de tipo radio que sirven para seleccionar una única opción de una lista.

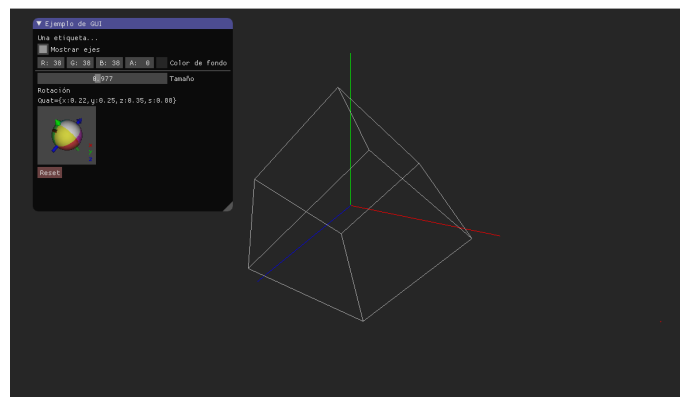


Figura 3.1: Ejemplo de una ventana PGUPV con una GUI simple

---

---

## CAPÍTULO 4

# Metodología

---

### 4.1 Estructura de la nave

---

Se ha decidido generar naves compuestas por un cuerpo simple y una serie de adornos cómo pueden ser la cabina, alas, etc. El cuerpo está compuesto por:

- Esqueleto: línea que define la parte central del cuerpo.
- Secciones: una serie de formas cerradas que formarán el exoesqueleto del cuerpo. Estas secciones son las que se utilizarán para la generación de la malla.

En el caso de los adornos, se sitúan en un punto del cuerpo y siguen una estructura similar a este.

### 4.2 Prototipo semiautomático

---

El algoritmo propuesto para la generación del modelo sigue las siguientes etapas:

1. Generar una "silueta" utilizando una gramática.
2. Generar anillos por cada punto de la silueta.
3. Unir los puntos de cada anillo para generar la malla.

#### 4.2.1. Gramáticas

En este caso, una gramática consiste en una estructura para generar o aceptar una serie de cadenas. Los mecanismos que disponen para este fin son:

- Vocabulario: definición de los distintos símbolos que componen la gramática.
- Axioma: Cadena inicial de la gramática.
- Producciones: Serie de reglas para transformar una serie de símbolos en otros.

En nuestro caso, hemos utilizado un tipo especial de gramáticas llamado *L-systems*. Estas incluyen un sistema para convertir las distintas cadenas generadas en una representación gráfica. Estas gramáticas se crearon para dar una descripción formal del desarrollo de organismos pluricelulares pero ha tenido un gran éxito en la generación de flora.

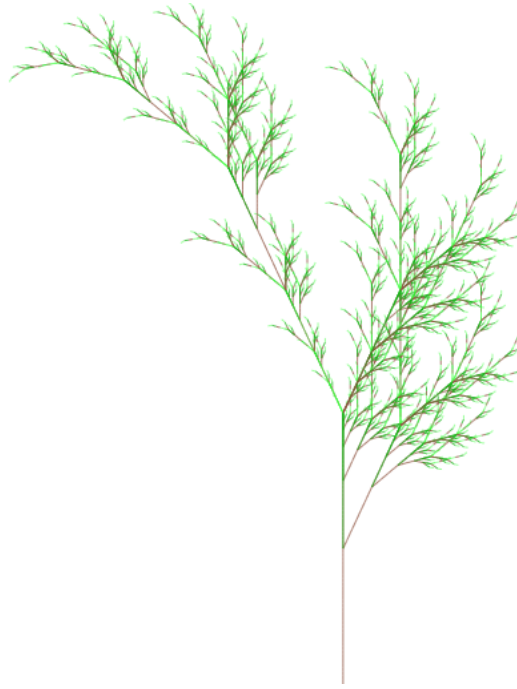


Figura 4.1: Imágen de un L-system extraída de [HTML5 L-systems](#)

#### 4.2.2. Generación de la silueta

La primera parte del algoritmo consiste en generar una silueta. Esto lo usaremos para ajustar el radio de cada anillo y determinar su posición. Para este fin, nos hemos definido una gramática.

El vocabulario lo podemos separar en dos grande grupos donde tenemos los símbolos que no afectan al resultado (al convertir el estado de la gramática no generan ningún punto):

- START
- BACK
- RAMP
- WALL
- FRONT
- CENTER
- FLAT

Como ya hemos dicho, estos símbolos son no terminales que sirven para generar nuevas producciones. Sin embargo, tenemos un símbolo terminal que consiste en el punto. Este es el único símbolo que nos proporciona la información para generar la silueta. Estos puntos llevan una serie de características asociadas para definir una posición. Los parámetros más importantes son el rango en el que pueden generar los valores y si el rango es absoluto o no, esto es, si los valores generados tendrán una posición determinada o dependerán de la elevación actual.

Con el vocabulario definido, podemos hablar del axioma:

P(0,0), START, P(1,0)

Las producciones se han definido por código y, como ejemplo, podemos observar una sección de estas:

START →	FRONT Pv([0.3,0.4],[0.2,0.3])	CENTER Pv([0.6,0.7],[0.2,0.3])	BACK	(33 %)
	FRONT Pv([0.4,0.6],[0.2,0.3])	CENTER Pv(1,[0.2-0.3])		(33 %)
	FRONT P([0.25,0.75],[0.2,0.3])	BACK		(34 %)

(Vease [Apéndice A](#) para la gramática completa)

En estas producciones, podemos encontrarnos una serie de puntos que mantienen una componente (i.e., todos los puntos generarán el mismo valor para la coordenada guardada). Esto estará marcado por 'v' o 'h' después de la 'P' dependiendo si es la coordenada y o x. En caso de haber más de una serie, se añadirá un número. Además, para indicar que un punto utiliza rango absoluto, se le ha añadido una 'a'.

Una vez definida la gramática, necesitamos una forma de convertir la cadena generada en algo que podamos utilizar. Esto nos resulta sencillo puesto que sólo nos hace falta saber la posición de los puntos. Sabiendo esto, descartamos cualquier cosa que no sean puntos y se calcula su posición.

### 4.2.3. Generación de anillos

Para la generación de los anillos, se ha elegido utilizar polígonos regulares puesto que esto facilita mucho su generación y crea formas simétricas. Esta propiedad es interesante ya que se obtienen con más facilidad unos resultados atractivos.

El siguiente paso es determinar el número de puntos en cada anillo. Para esta razón, hemos definido un par de parámetros que pedimos al usuario: el rango de puntos y la variabilidad entre los anillos. Mientras que el rango viene dado por los valores extremos, la variabilidad es un valor entre 0 y 1 que determinará el porcentaje del rango que se aplicará cuando se genere el siguiente anillo.

De esta forma, empezamos con una cantidad aleatoria y, cuando generamos un nuevo anillo, elegimos un valor aleatorio que tendrá una rugosidad dada por el componente de variabilidad. Cuanto más cerca de 1, más abruptos serán los cambios mientras que, cuanto más cerca de 0, las diferencias entre un anillo y el siguiente serán menores.

### 4.2.4. Generación de malla

Llegados a este punto, ya solo nos queda unir los puntos del modelo que hemos generado en el paso anterior pero esto es un problema complejo. Por suerte, a causa de la estructura del problema, podemos simplificarlo si lo dividimos en varios subproblemas. En vez de intentar crear un modelo a partir de una nube de puntos, podemos intentar crear mallas para las cintas formadas por cada par de anillos.

En estos momentos, tenemos que unir los puntos del anillo A al anillo B formando triángulos. Con tal fin, podemos observar las siguientes propiedades:

1. Todos los puntos deben formar parte de, al menos, un triángulo.
2. No se puede crear un triángulo que solape con otro.
3. En caso de que las cintas tengan el mismo número de puntos, cada punto formará parte de, exactamente, dos triángulos.
4. Las aristas resultantes uniendo los puntos de distintos anillos, siempre tendrán la longitud mínima posible.

A partir de estos pasos, se puede hacer un algoritmo voraz. Sin embargo, aun tenemos que buscar los puntos de corte para desplegar las cintas. Para ello, buscamos dos puntos, uno de cada cinta, que tengan la distancia mínima. De esta forma, tenemos nuestra primera y última arista y, además, el punto por el que desplegar la cinta.

Después de obtener esta cinta, se va a utilizar una ventana deslizante para recorrer todos los puntos pertenecientes a los anillos. Esta ventana estará formada por dos puntos de cada anillo y nos servirá para determinar cual es la arista del siguiente triángulo. Para ello, es necesario observar qué diagonal es la más corta. Este proceso se puede observar en la figura 4.2.

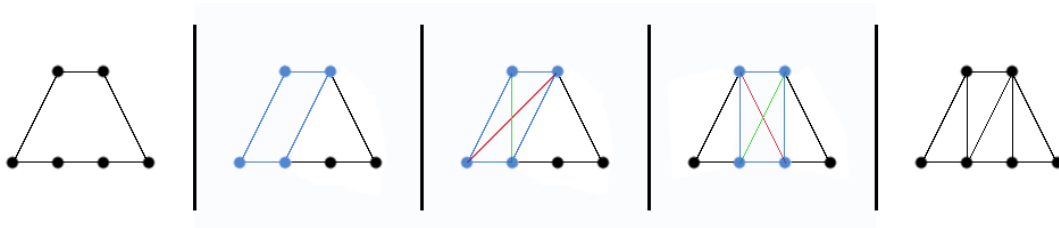


Figura 4.2: Ejemplo de triangulación

Una vez generado el modelo, se han aplicado una serie de transformaciones para alterar el modelo final achatándolo en los distintos ejes. Con estas alteraciones, se intenta eliminar un exceso de ejes de simetría.

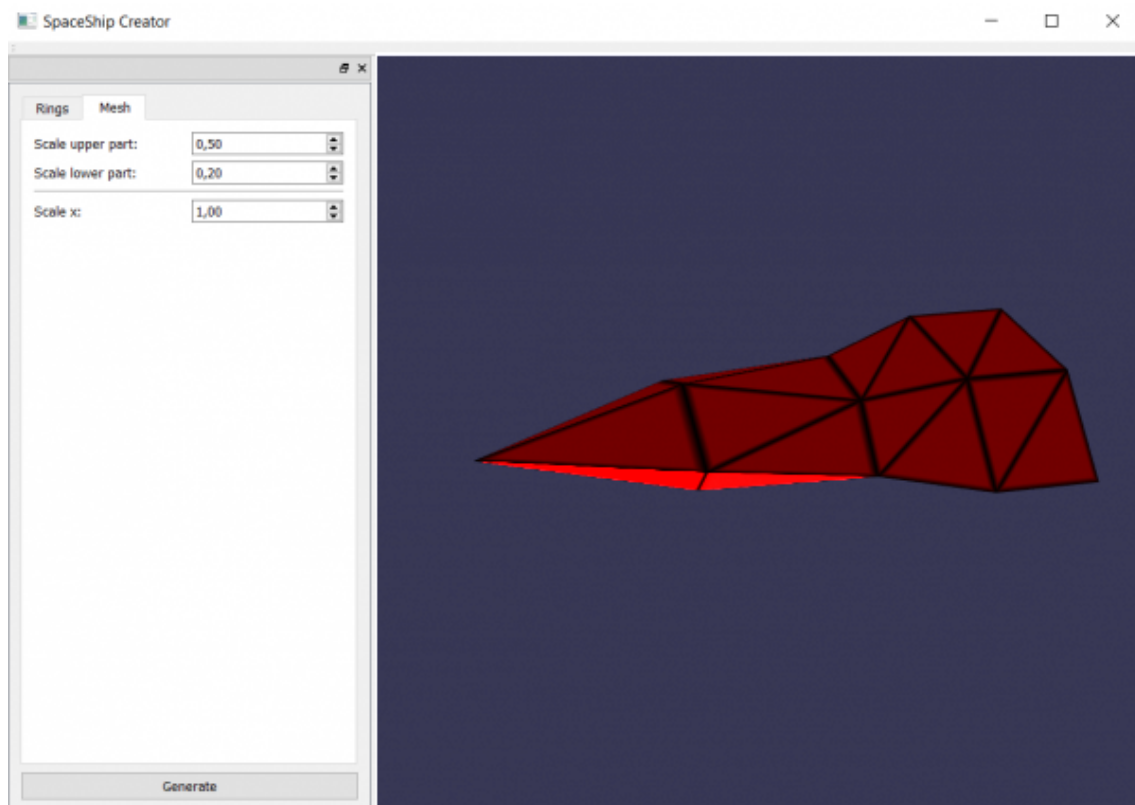


Figura 4.3: Resultado de la primera aproximación

#### 4.2.5. Resultados

Esta aproximación presenta una serie de limitaciones. La primera de ellas, consiste en que la variedad de modelos generados, depende de la complejidad de la gramática.

Esto no sería tan problemático, si no fuese por la dificultad que presenta, al usuario, el modificar esta gramática.

El otro problema consiste en que, para conseguir mayor variabilidad, hay que crear más producciones dentro de la gramática. Esto hace que mantenerla sea un proceso tedioso y limita mucho los posibles resultados.

Por otro lado, el algoritmo presentado da la posibilidad de generar una gran variedad de modelos (con una gramática compleja) sin necesidad de que el usuario introduzca muchos datos pero también ofrece la posibilidad de configurar las formas de las naves modificando la gramática.

## 4.3 Prototipo paramétrico

---

Dada la limitación de trabajar con polígonos regulares, se ha decidido buscar algún otro sistema. Por esta razón se ha buscado una figura geométrica que se pueda crear a partir de una serie de parámetros.

### 4.3.1. Generación de anillos

La figura que se ha decidido utilizar consiste en un cuadrilátero con las esquinas redondeadas. Esta elección se ha elegido dado que se puede controlar con unos pocos parámetros, como serían la altura y la anchura, mientras que las modificaciones resultantes son las esperadas por parte del usuario. Esto no se da con otras figuras geométricas como podría ser el hexágono donde, con la misma cantidad de parámetros, no resulta posible conseguir un buen control y, en el caso de incrementarlos, estos resultarían engorrosos de controlar.

Por otro lado, al aplicar un redondeado en las esquinas, conseguimos permitir la generación de naves orgánicas utilizando un único parámetro. Éste nos determina el porcentaje de las aristas que constituirá parte de la curva.

### 4.3.2. Generación de malla

Para la generación de la malla se ha decidido utilizar el mismo número de puntos en cada anillo. Con esto conseguimos una correlación directa entre los distintos anillos facilitando enormemente el proceso de creación de la malla. Sin embargo, esto presenta el riesgo de terminar teniendo una cantidad de puntos inferior o superior a la necesitada en anillos de diferente tamaño.

### 4.3.3. Resultados

Como resultados, hemos obtenido un algoritmo que le ofrece mucho control al usuario a la hora de generar el modelo a partir de una serie de parámetros. Estos, a su vez, permiten ser generados de forma automática lo que nos proporciona una base para un algoritmo mucho más complejo.

## 4.4 Programa de diseño asistido por ordenador (CAD)

---

En este punto, se ha decidido crear una plataforma para la implementación y experimentación de los algoritmos implementados y de cualquiera que queramos implementar

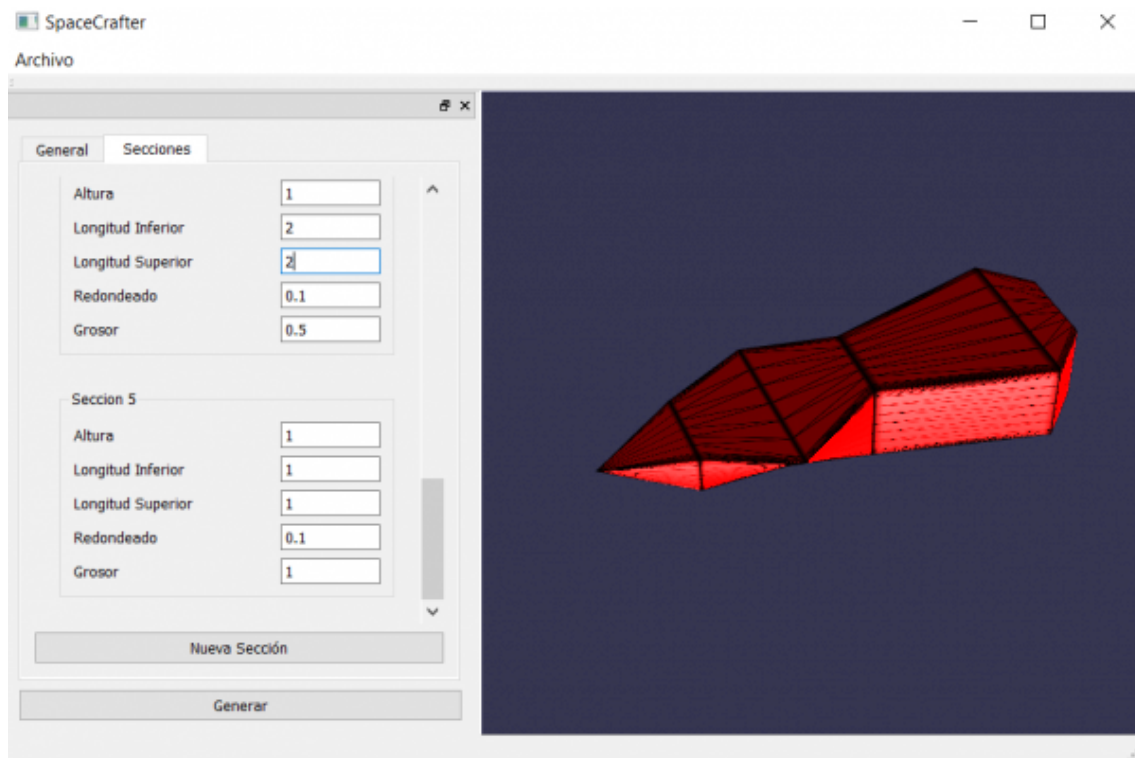


Figura 4.4: Resultado de la segunda aproximación

en un futuro. Para ello, se ha creado un programa de diseño asistido por ordenador que nos permite editar las distintas partes de la nave a partir de una serie de ventanas o escenas. Para ello se han utilizado tres herramientas:

- Curvas de Bézier: nos ofrecen la posibilidad de generar el esqueleto y las secciones mezclando tanto curvas como segmentos rectos
- Superficies de Bézier: nos proporciona la capacidad de crear unas mallas con uniones perfectas entre las distintas superficies.
- Gestor de escenas: Conjunto de clases que se encarga de hacer la transición entre las distintas escenas.

#### 4.4.1. Curvas de Bézier

El primer punto importante de esta aplicación son las curvas de bezier. Estas son el componente básico de la aplicación pues cada segmento que se introduce es una de estas curvas. Esta es una poderosa herramienta pues nos permite dar una gran libertad sobre como construir el modelo ya que permite generar tanto modelos orgánicos como inorgánicos.

Estas curvas vienen definidas por cuatro puntos de control, en el caso de las cúbicas, o por  $n + 1$  donde  $n$  es el grado de la curva para un caso general. Estos puntos no se encontrarán en la curva excepto para el primero y el último. Gracias a esto, podemos conectar varias curvas de forma consecutiva. Para ello, solo necesitamos utilizar el mismo punto como el último y el primero de las dos curvas.

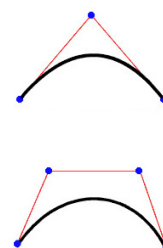


Figura 4.5: Bézier cuadrática y cúbica



Para definir cada uno de los puntos que forman estas curvas, se utiliza una serie de interpolaciones entre los cuatro puntos de control y, de forma recursiva, las líneas que se consiguen al unir los puntos del paso anterior hasta terminar con un único punto. Este proceso se puede ver en la figura 4.6

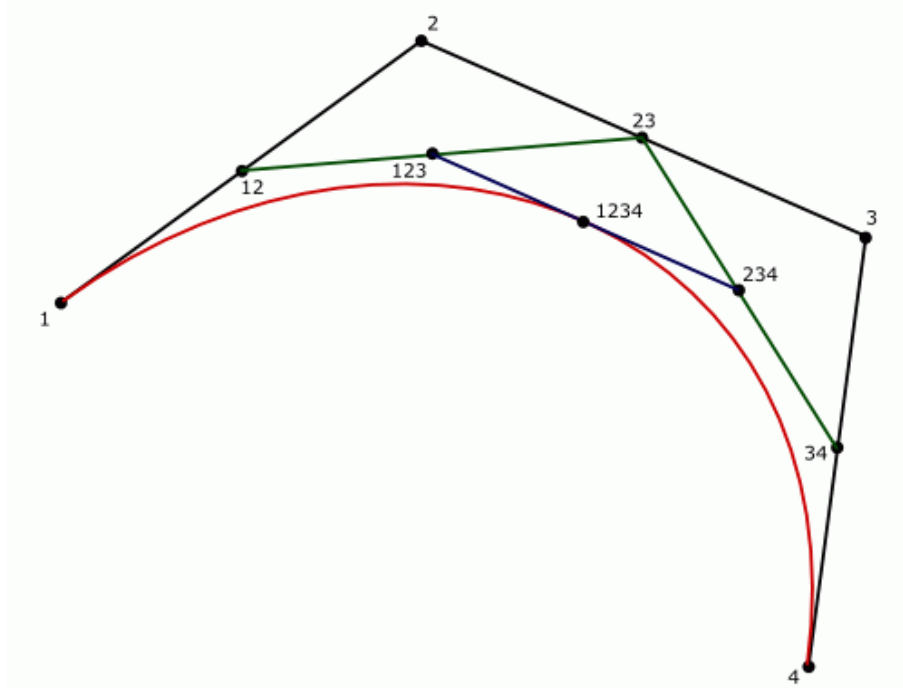


Figura 4.6: Proceso de interpolación para  $t=0.5$

Sin embargo, esta forma de calcularlas no es práctica. Para eso, tenemos la fórmula 4.1. De esta forma, podemos calcular un punto cualquiera dentro de una curva. Además, se puede generalizar para llegar a la fórmula 4.2 de las curvas cúbicas que son con las que se trabajará.

$$B(t) = \sum_{i=0}^n \binom{n}{i} (1-t)^{n-i} t^i P_i, t \in [0, 1] \quad (4.1)$$

$$B(t) = P_0(1-t)^3 + 3P_1t(1-t)^2 + 3P_2t^2(1-t) + P_3 * t^3, t \in [0, 1] \quad (4.2)$$

Para trabajar con estas curvas, se ha implementado una librería que nos ofrece toda la funcionalidad necesaria para trabajar con ellas:

- Generar la curva: esto nos genera una serie de puntos que formarán los segmentos de esta curva. Para determinar la cantidad que vamos a generar, podemos definir un número exacto o que se genere a partir de la longitud y un nivel de detalle.
- Generar los puntos de Casteljau: estos puntos son los que nos genera el sistema para calcular un punto de la curva descrito en la figura 4.6. Por regla general, nos interesa trabajar con las ecuaciones excepto en el caso de dividir una curva.
- Caja de inclusión: función para obtener los valores máximos y mínimos de las curvas con las que trabajamos. Esto nos resulta muy práctico para centrar la curva.
- Tangente, normal y binormal: funciones para calcular estas componente para un punto dado. Esto es lo necesario para poder orientar una curva en un segmento.

- Punto en curva: comprobar si un punto dado está en la curva. Esto se debe hacer por aproximación dado que no se puede calcular de forma exacta.
- Proyectar un punto en la curva: busca el punto de la curva más cercano al punto dado.
- Intersección en el eje x: para aplicar un modificador de simetría, es necesario saber en que punto cruza por el eje de simetría. Para simplificar, se ha utilizado el eje x como tal. Esto nos simplifica el problema a tener que resolver una ecuación cúbica. De esta forma, se ha utilizado el algoritmo de Cardano.

#### 4.4.2. Superficies de Bézier

Para generar una malla, tenemos las superficies de bezier. Su funcionamiento es muy similar a sus equivalentes de dos dimensiones. También están formadas por una serie de puntos de control por los que la superficie, generalmente, no pasa.

Estas superficies presentan una propiedad interesante. Si tomamos uno de los cuatro bordes, tenemos una curva de bezier. Esto nos permite dos cosas. La primera, podemos crear una superficie a partir de una serie de curvas. La segunda consiste en, dadas dos superficies que compartan la misma curva como borde, conseguiremos una superficie que no presente agujeros en la unión.

En este caso, hemos utilizado superficies cúbicas de dos formas: parches bicúbicos y triángulos de bezier.

##### Parches bicúbicos

Este tipo de superficies se han elegido dado a su simplicidad de implementación mientras que dan un gran control sobre la superficie que genera. Además, se puede crear fácilmente a partir las curvas de bezier que tenemos generando los puntos que nos faltan.

Por otro lado, el cálculo de las normales es directo además de que se pueden obtener de forma exacta. Esta propiedad es muy importante dado que nos permite la correcta iluminación del modelo.

El único inconveniente que nos presenta es su forma. En nuestro caso necesitamos generar tanto triángulos como cuadriláteros. Se puede aplastar uno de los lados en uno de estos parches para conseguir un triángulo pero esto nos deja con dos problemas. Por una parte, nos causa problemas de iluminación mientras que, por la otra, nos deja una parte del triángulo con una mayor densidad de polígonos que la otra.

##### Triángulos de bezier

Para poder representar estas formas, se ha recurrido al uso de triángulos de bezier. A diferencia de un triángulo normal, esta superficie es bastante más compleja que su versión de cuatro puntos.

Igual que en los casos anteriores, la generación de cada punto de la curva se hace mediante una interpolación recursiva. Sin embargo, dado la forma de la superficie, se deben utilizar coordenadas baricéntricas para esta tarea.

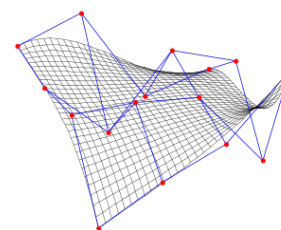


Figura 4.7: parche bicúbico con sus puntos de control

Además, no hay garantía de que, en dos triángulos contiguos, generen una unión suave aunque la unión si lo sea. Este comportamiento es diferente al que se da en el caso de los parches bicúbicos.

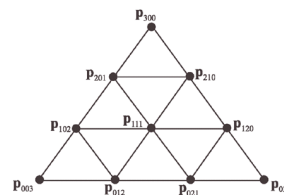


Figura 4.8: puntos de control de un triángulo de grado 3

#### 4.4.3. Generación de la malla

La generación de la malla es uno de los problemas principales de este trabajo. El primer intento ha consistido en aplicar la misma técnica que se ha utilizado al principio. Sin embargo, esto a resultado inviable por dos razones. Al utilizar curvas, se han tenido que generar más puntos para la representación de cada una de las curvas. Sin embargo, si aplicamos el algoritmo que teníamos diseñado, no distingue estos nuevos puntos de los originales. Este es nuestro primer problema.

La solución directa, sería ejecutar el algoritmo del primer prototipo para crear los triángulos entre las distintas curvas. Al hacer esto, nos genera unas superficies curvas mal definidas. Para evitar esto, tenemos que distinguir entre las dos primitivas que vamos a utilizar.

Esto nos ofrece un nuevo problema que podemos ver en la imagen 4.9. Si dividimos el cuadrilátero formado por los puntos 1, 2, 9 y 10 en dos triángulos, terminaríamos con la malla deformada. Por otro lado, no podemos crear un cuadrilátero con los puntos 2, 3, 10 y 11. No podemos considerar el cuadrilátero 2, 3, 4, y 10 puesto que estaríamos consumiendo dos aristas del polígono exterior y ninguna del interior.

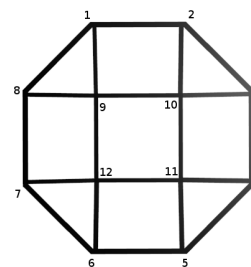


Figura 4.9: Ejemplo de las uniones entre un cuadrado y un octágono

Para poder considerar un cuadrilátero como tal, necesitamos que cumpla dos condiciones. La primera, que se puede observar en la figura, implica que no hayan 3 puntos colineales. Esto es bastante obvio puesto que si los tenemos, solo conseguimos un triángulo. La segunda condición consiste en que los cuatro puntos sean coplanares. Esto no se puede ver en la imagen puesto que, al estar en 2D, siempre van a serlo. En un caso en tres dimensiones, como el que se da en la aplicación, será lo que nos diga, mayormente, si tenemos que considerar la forma que estamos observando como un triángulo o un cuadrilátero.

Una vez dividida la cinta en triángulos o cuadriláteros, necesitamos subdividir estas formas. Para ello, se han contemplado dos métodos. En el primero, podemos considerarlo como una cinta. Sin embargo, esto nos genera unos triángulos muy alargados y estrechos que nos dificultarán la tarea del texturado. Aquí tenemos el segundo problema que comentábamos en el primer párrafo.

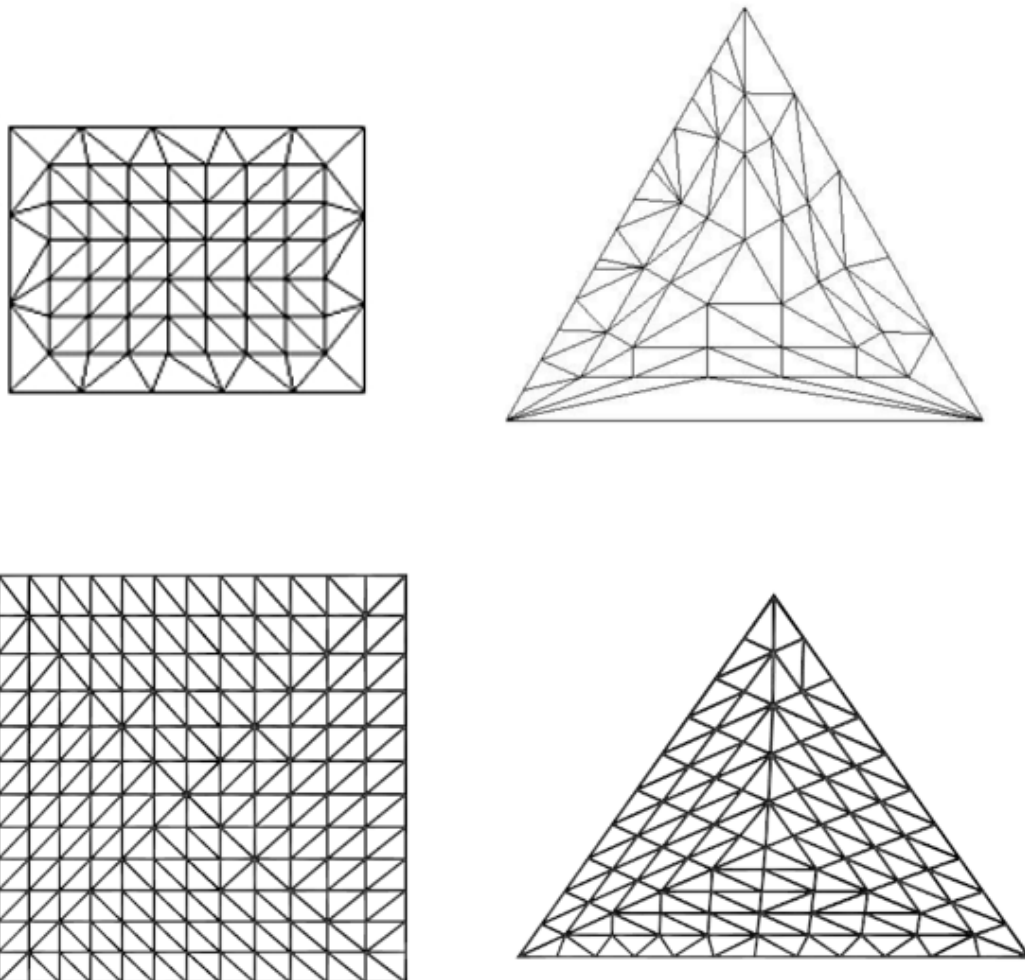
La segunda opción es trabajar con las superficies de Bézier que se han explicado arriba. Para ello, primero necesitamos obtener los puntos de control que nos faltan:

En los parches bicúbicos esto es una tarea fácil. Dados los puntos de control de las dos curvas, solo tenemos utilizar interpolación lineal en cada par de puntos de control para obtener dos curvas más. De esta forma, conseguimos los 16 puntos para una superficie que, entre anillos, es lisa. Para darle curvatura, tendríamos que desplazar estos puntos hacia fuera o hacia dentro. Esto no se ha implementado debido a la falta de espacio en la interfaz.

Para los triángulos, esto es más complicado. En este caso, necesitamos generar las dos curvas que componen los bordes. Esto lo podemos hacer como en el caso del parche puesto que el caso es similar. Sin embargo, para el punto central necesitamos calcular el correspondiente al baricentro.

Una forma para hacer la teselación es utilizando una malla regular pero esta idea se ha descartado porque nos obliga a generar las curvas utilizando el mismo número de segmentos para todas. Esta es la opción que está implementada en todas las librerías para trabajar con superficies de Bézier.

Otra opción consiste en utilizar la teselación de OpenGL. Esta opción nos presenta una forma rápida y viable pero también inconvenientes. Si utilizamos esta opción estamos pidiendo una versión de OpenGL que aun no está soportada por gran parte de las tarjetas gráficas integradas. Además, nuestro resultado dependerá del fabricante puesto que son ellos los que controlan el algoritmo de teselación.



**Figura 4.10:** Ejemplos de teselación de opengl (arriba) y la generada por nuestro código (abajo)

Por estas razones, se ha decidido implementar nuestro propio algoritmo siguiendo el estándar de OpenGL[10]. La idea detrás de este algoritmo consiste en generar una serie de anillos concéntricos con una cantidad distinta de puntos y tamaños diferentes. De ésta forma, vamos a generar un primer anillo que tendrá una cantidad de puntos en

cada lado, no necesariamente la misma, que nos servirá de puente entre el exterior y los anillos interiores. Estos, irán decreciendo en tamaño y número de puntos en una cantidad equitativa.

#### 4.4.4. Gestor de escenas

Para controlar el estado de la aplicación, se ha creado un conjunto de clases para gestionar las distintas transiciones. Estas son:

- Gestor de escena: en esta clase se incluyen las funciones para cambiar de escena. Además, se incluye un mecanismo para poder hacer una serie de pasos y volver a una escena en concreto al estilo de un dialogo emergente.
- Escena: clase abstracta que nos proporciona el esqueleto de las distintas funciones que se ejecutarán al cambiar entre escenas.

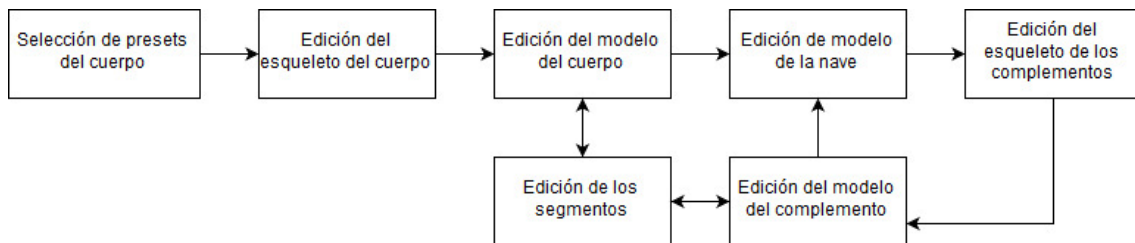


Figura 4.11: Diagrama de flujo de la aplicación

#### 4.4.5. Interfaz

##### Selección de presets

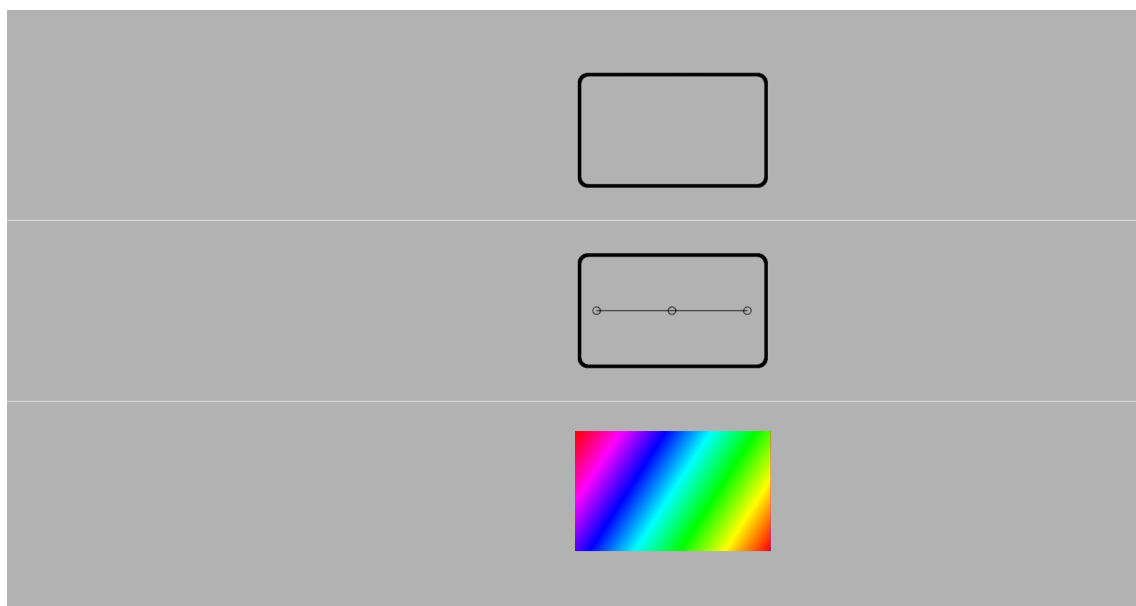


Figura 4.12: ventana de selección de presets del cuerpo

Esta es la ventana de introducción a la aplicación. Esta ventana nos da a elegir entre una serie de *presets*. Esto son modelos predefinidos, enteros o solo del esqueleto. Se

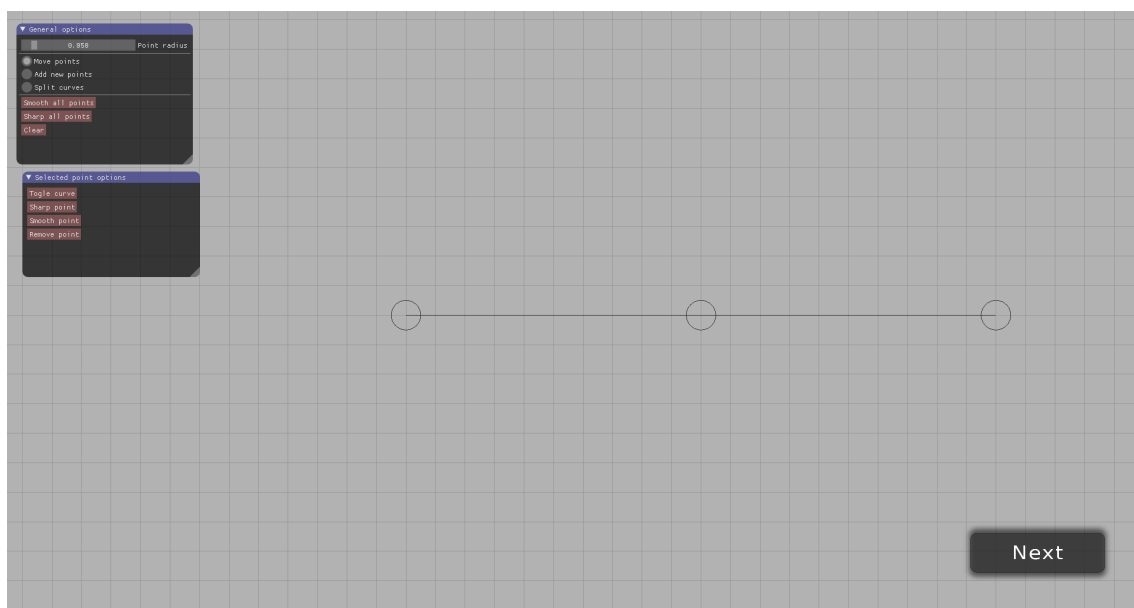
dividen en tres secciones, la primera es para los especiales como es empezar en blanco o, si se hubiese añadido, empezar con un modelo aleatorio. La segunda sección, es para los modelos que solo tienen el esqueleto y, la tercera, para los que tienen todo definido. Como no se dispone de un modelo ya hecho, se ha utilizado uno de pruebas para mostrar la funcionalidad.

Estos modelos, están guardados en un fichero obj que contiene, los puntos que forman el esqueleto y, si lo tiene, las distintas secciones. Como no se ha tenido tiempo de generar un sistema para guardar estos modelos, no se ha podido crear una biblioteca con una cantidad decente de modelos.

Las tres bibliotecas que se han creado, cargan los modelos de sus carpetas correspondientes. Primero buscan el archivo del modelo y, luego, cargan la imagen con el mismo nombre. Estas imágenes actúan como botones para pasar a la siguiente ventana.

Cada uno de los botones está compuesto por un rectángulo con una textura. Para detectar si se ha seleccionado alguno, se busca un botón que contenga el punto que hay debajo del ratón.

## Edición de esqueleto



**Figura 4.13:** ventana de edición del esqueleto perteneciente al cuerpo de la nave

En esta ventana empezamos a tener contenido. Como podemos observar, disponemos de un menú en la parte superior izquierda para controlar algunas opciones y un botón en la inferior derecha para pasar a la siguiente escena. En la parte central, tenemos el área de dibujo con una rejilla y nuestros dos primeros segmentos.

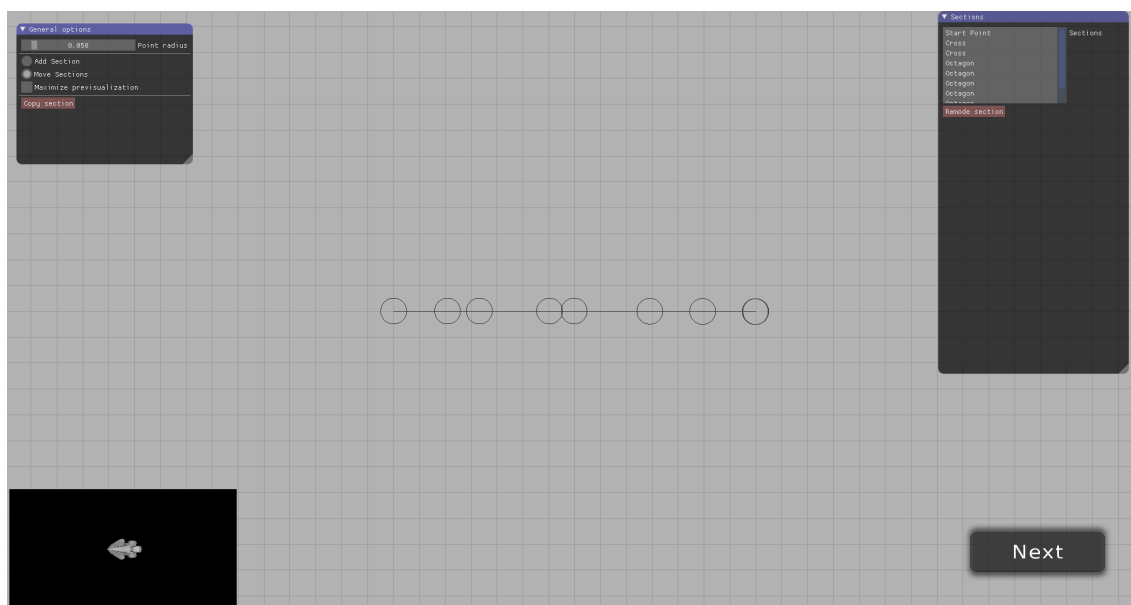
Como ya se ha comentado con anterioridad, estos segmentos son, en realidad, curvas de Bézier y, para controlarlas, tenemos sus puntos de control. Hay dos pasos que necesitamos para poder verlos: hacer clic en ellos y habilitar la curva. Para seleccionar el punto que hay debajo del ratón, al estar en 2D, se puede calcular el punto del ratón en el espacio del mundo. Esto consiste en aplicar las operaciones de transformación que afectan a la escena (cámara y proyección) en orden inverso. Sin embargo, como estamos tratando con la posición del ratón (2D), necesitamos una coordenada más para aplicar las posiciones. Todo esto es en un caso general aunque, al ser el problema en 2 dimensiones, no nos interesa la tercera componente, con lo que la podemos descartar. Una vez tenemos

las coordenadas, tan solo tenemos que mirar si está a menos de cierta distancia de cada punto.

También podemos observar una serie de botones para aplicar operaciones a nuestras curvas. Las que tienen algo de interés son las de convertir las uniones en ángulos rectos o suavizadas. Para el primero, solo tenemos que mover los puntos de control de ese vértice a la línea formada por él y el siguiente o anterior. Para crear una unión suave, necesitamos que los puntos de control de alrededor del vértice formen una línea perpendicular a la bisectriz.

El otro punto de interés, es la herramienta para partir la curva. Para ello, se ha de obtener el punto de la curva que tenemos debajo del ratón y conseguir los nuevos puntos de control. Para ello, podemos utilizar las dos funciones implementadas en la librería de curvas de Bézier.

### Edición del cuerpo



**Figura 4.14:** Ventana de edición del modelo perteneciente al cuerpo de la nave

En esta ventana, se nos vuelve a presentar algo similar que en la anterior. Sin embargo, ha habido una transformación antes de llegar a esta ventana. Se ha centrado la curva en el centro de coordenadas. Si no lo hacemos, la nave tampoco estaría centrada con lo que, a la hora de importar el modelo en alguna otra aplicación, no se podría incluir de forma correcta.

Para realizar esta tarea, necesitamos los máximos y mínimos de la curva. Este problema, a su vez, se resuelve buscando los puntos de inflexión, esto es, resolviendo las ecuaciones de  $B'(t) = 0$  y  $B''(t) = 0$ . De esta forma, obtenemos las ecuaciones 4.3 y 4.4 respectivamente.

$$B(t)' = 2(1-t)(P_1 - P_0) + 2t(P_2 - P_1) \quad (4.3)$$

$$B(t)'' = 2(P_2 - 2P_1 + P_0) \quad (4.4)$$

Después de centrar el modelo, podemos observar que se ha añadido un panel a la derecha para mostrar los distintos segmentos y un recuadro en la esquina inferior izquierda,



donde se puede ver una previsualización del cuerpo. También disponemos de un botón para que esta ocupe toda la ventana.

Los controles en esta ventana te permiten añadir una nueva sección o mover una existente. En el primer caso, nos mostrará la siguiente escena y, al volver, se necesita generar una matriz de transformación para posicionar los puntos de la nueva sección en el sitio final que ocuparán dentro del modelo. Para ello es necesario calcular la normal, tangente y binormal en el punto de la curva donde se quiera añadir esta sección.

Para calcular la tangente, solo necesitamos la ecuación 4.3 pero, en la normal, resulta más complicado. La forma para obtenerla pasa por generar dos tangentes muy cercanas, calcular el vector perpendicular entre ellas y, utilizando este nuevo vector y la tangente que teníamos, conseguimos la normal. Esto funciona puesto que, en una curva de Bézier, las tangentes cambian incluso en distancias pequeñas. Sin embargo, hay un caso que es necesario tratar. En nuestra aplicación pueden aparecer casos de curvas degeneradas, es decir, líneas rectas. Estas, al ser una línea, tienen una cantidad infinita de normales, por lo que es necesario seleccionar una de ellas.

## Edición de segmentos

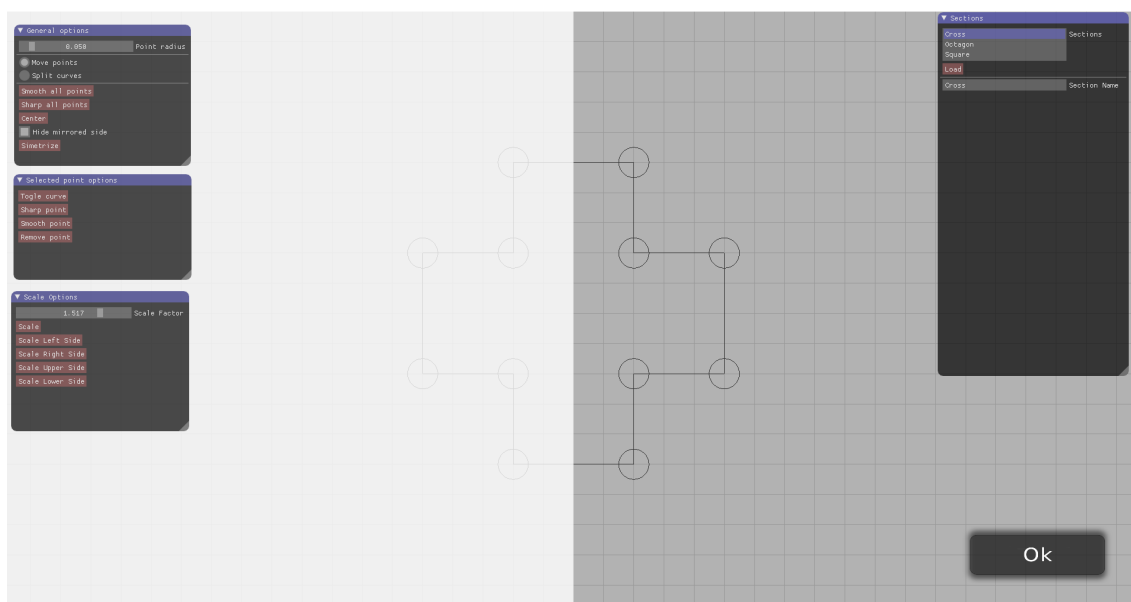


Figura 4.15: Ventana de edición secciones

En esta ventana se nos muestra otro editor de curvas de bezier al que le hemos añadido más funcionalidad. Una de estas, es la zona blanqueada que podemos ver a la derecha. Esta máscara sirve para marcar el área que se eliminará si se utiliza el operador de simetría. También se ha incorporado la opción de ocultar la máscara en caso de no querer trabajar con segmentos simétricos.

Otro cambio, es el panel que podemos ver a la derecha que nos permite cargar algunas formas predeterminadas y asignarle un nombre personalizado a nuestra forma para una mejor identificación en la ventana anterior. Esta biblioteca funciona de la misma forma que la presentada en la primera ventana, aunque con una presentación distinta.

De esta misma forma, se han añadido algunas operaciones más para el escalado y una para generar una forma simétrica utilizando un modificador de espejo en la mitad del anillo. Para ello, primero necesitamos partir el segmento en dos mitades. Para facilitar esta tarea, se ha decidido utilizar el eje 'y' como eje de simetría. De esta forma, solo se



necesita resolver la ecuación  $B(t) = 0$  para obtener los puntos de corte. Esto es una ecuación de grado 4 que, para resolverla, hemos aplicado el algoritmo de Cardano.

Después de obtener los puntos de corte para todas las curvas, necesitamos comprobar que no haya más de 2 puesto que, de darse el caso, tendríamos formas aisladas con las que no sabemos tratar. A continuación, se eliminan los puntos que están en la zona reflejada y se substituyen por los puntos de la otra zona con la componente x de la coordenada invertida y en orden inverso.

### Edición de modelo

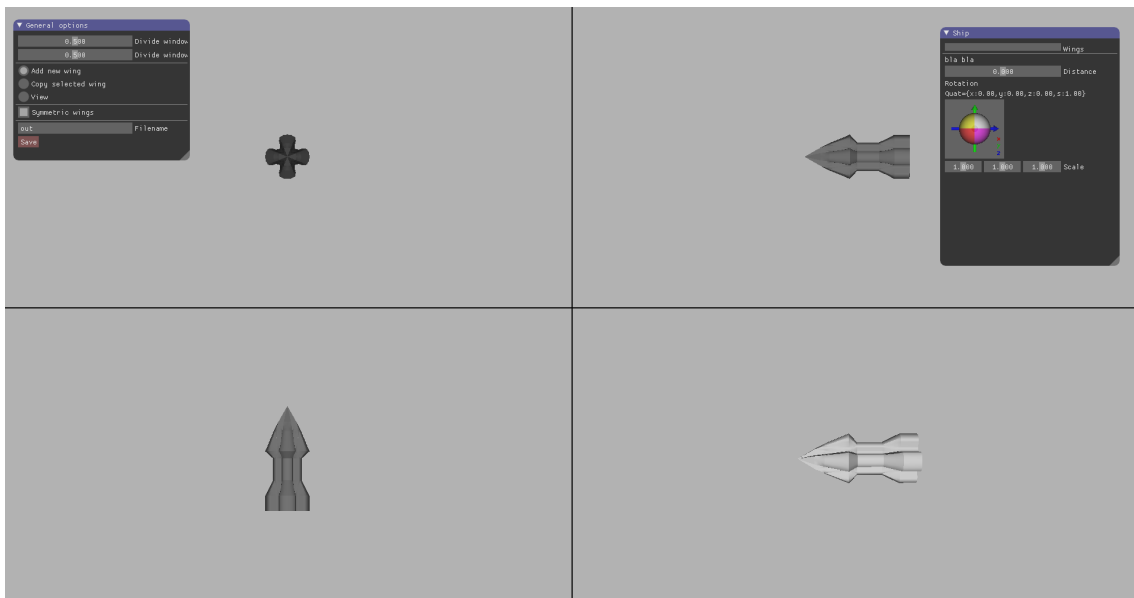


Figura 4.16: Ventana de edición del modelo

Llegados a este punto, tenemos la oportunidad de guardar nuestro modelo aunque podemos empezar a añadir detalles como alas u otros complementos. Esta ventana tiene dos puntos interesantes. El primero es la función de guardar el modelo que ya se ha nombrado. Para ello, se ha decidido utilizar el formato *wabefront* (obj).

El otro punto interesante consiste en añadir los distintos complementos. Para ello, vamos a buscar el punto del mundo donde se va a situar. Por otro lado, para conseguir la dirección que va a tener el complemento, hemos dibujado la escena utilizando una conversión de las normales del modelo a colores. De esta forma, vamos a utilizar la normal que vemos y no una que podamos aproximar nosotros que puede ser distinta.

### Edición de complementos



Figura 4.17: Ventanas de edición de los complementos

Para crear los complementos, se ha seguido el mismo proceso que en la creación del cuerpo de la nave pero permitiendo modificar sin restringir una coordenada. No ha habido que hacer muchos cambios complejos dado de que, desde un primer momento, ya se había implementado la librería para trabajar con las curvas de Bézier en tres dimensiones. Sin embargo, sí surgió un problema a la hora de detectar si un punto está sobre la curva o no.

Para resolverlo, se ha utilizado la función de proyección. Sin embargo, esto no es suficiente con lo que hemos tenido que buscar el punto de la curva que más cerca está con respecto al segmento que abarca todos los puntos del mundo que existen debajo del ratón.

---

---

## CAPÍTULO 5

# Evaluación de resultados

---

Durante la realización de este trabajo, se han cumplido los siguientes objetivos:

- Se ha investigado y creado dos métodos para la generación de modelos de naves por parámetros.
- Se ha creado un programa de diseño asistido por ordenador para la creación de modelos de naves espaciales.

Por otro lado, se han realizado las siguientes aportaciones:

- Creación de una librería para el procesado de curvas de Bézier en c++
- Diseño de un algoritmo para la triangulación de cintas
- Implementación de un sistema de teselación siguiendo las especificaciones de OpenGL
- Creación de procedimiento para la subdivisión de una cinta en triángulos y cuadriláteros.

Comparando los prototipos implementados, podemos observar que, los existentes presentan una serie de inconvenientes. Los primeros, necesitan una base de datos de piezas, modeladas a mano, y una información extra que también hay que introducir manualmente. Mientras que, el último algoritmo, tiene una generación de naves extremadamente similares.

Esto nos diferencia de estos algoritmos puesto que nosotros no dependemos de ninguna base de datos mientras que conseguimos la creación de una gran variedad de naves con una serie de parámetros limitados por parte del usuario.

En el caso del programa de diseño asistido por ordenador, se ha propuesto realizar una prueba para comparar el método tradicional (utilizando la herramienta Blender) con la que se ha desarrollado. Esta prueba ha consistido en hacer un modelo similar con los dos programas y medir los tiempos. En el caso de Blender se ha tardado 24 minutos mientras que, en el nuestro, se ha conseguido hacerlo en 13 minutos.



---

---

## CAPÍTULO 6

# Conclusiones

---

En este proyecto se ha realizado, en primer lugar, un estudio sobre los métodos existentes sobre la generación de modelos de naves. Al no existir una gran cantidad de material, se ha decidido expandir su búsqueda a dos campos relacionados: Generación de ciudades y edificios. A diferencia de otros campos, estos presentan una estructura similar puesto que son elementos artificiales construidos por el hombre que presentan una estructura.

En segundo lugar, se ha propuesto una nueva forma de modelar basada en una estructura de modelos de naves compuesta por un esqueleto y una serie de anillos.

En tercer lugar, hemos creado una serie de prototipos que nos han permitido estudiar sobre la generación de modelos de naves. Aunque estos modelos no dispongan de una gran cantidad de detalles, podemos observar que la ventaja sobre el diseño tradicional es grande puesto que estamos creando un modelo con solo presionar un botón.

Finalmente, se ha creado un programa de diseño por ordenador centrado en las naves que sigue nuestra propuesta de modelado. Además, se ha realizado una pequeña prueba con resultados positivos para este programa, consiguiendo una mejora de 11 minutos sobre 24 con respecto a un programa tradicional.

Por otro lado, del desarrollo de este proyecto se ha conseguido experiencia en el campo de la generación por procedimientos de modelos y la posibilidad de aplicar unos u otros algoritmos. Así mismo, también se ha conseguido experiencia en algunas herramientas gráficas como, por ejemplo, las curvas o superficies de Bézier o la teselación.

Además, se han aportado una serie de mecanismos que nos permiten subdividir una cinta en una serie de formas más básicas y, a su vez, dividir estas con un nivel de detalle dependiente del área que ocupa la superficie. Esto contrasta con lo que se ha realizado que consiste en dar una cantidad de detalle fija para todo el modelo.

Para terminar, se han conseguido cumplir con los objetivos propuestos al principio de la memoria. Primero, se ha conseguido crear un algoritmo que tiene la capacidad de generar un modelo de nave. Segundo, se ha realizado un programa de diseño asistido por ordenador centrado en las naves y que permite la incorporación de cualquier generador automático que siga la estructura del modelo descrita.



---

---

## CAPÍTULO 7

# Propuestas de futuro

---

### 7.1 Generación de naves

---

Algunas mejoras que se podrían incluir en la generación de naves, son:

- Generación de anillos utilizando técnicas de algoritmos genéticos
- Estudiar la posibilidad de utilizar las split grammars descritas en el estado del arte

### 7.2 Programa CAD

---

Algunas mejoras que se podrían incluir en el programa CAD, son:

- Inclusión de texturas utilizando algoritmos de síntesis
- Inclusión de una herramienta para la generación de secciones intermedias
- Mostrar la sección seleccionada en la previsualización
- creación de un mecanismo para crear nuevos presets.





# Bibliografía

---

- [1] D. M. D. Carli, F. Bevilacqua, C. T. Pozzer and M. C. dOrnellas, "A Survey of Procedural Content Generation Techniques Suitable to Game Development" 2011 Brazilian Symposium on Games and Digital Entertainment, Salvador, 2011, pp. 26-35. doi: 10.1109/SBGAMES.2011.15
- [2] LAGAE A., LEFEBVRE S., COOK R., DEROSE T., DRETTAKIS G., EBERT D., LEWIS J., PERLIN K., ZWICKER M.: A survey of procedural noise functions. *Computer Graphics Forum* 29, 8 (December 2010), 2579–2600. <https://doi.org/10.1111/j.1467-8659.2010.01827.x>.
- [3] Pascal Müller, Peter Wonka, Simon Haegler, Andreas Ulmer, and Luc Van Gool. 2006. Procedural modeling of buildings. In *ACM SIGGRAPH 2006 Papers (SIGGRAPH '06)*. ACM, New York, NY, USA, 614-623. DOI: <https://doi.org/10.1145/1179352.1141931>
- [4] Peter Wonka, Michael Wimmer, François Sillion, and William Ribarsky. 2003. Instant architecture. *ACM Trans. Graph.* 22, 3 (July 2003), 669-677. DOI: <https://doi.org/10.1145/882262.882324>
- [5] Thomas Lechner, Ben Watson and Uri Wilensky. 2003. Procedural city modeling. In *1st Midwestern Graphics Conference*
- [6] Togelius, J., Kastbjerg, E., Schedl, D., and Yannakakis, G. N. What is procedural content generation? Mario on the borderline. In *Proc. Procedural Content Generation in Games 2011*, ACM Press (2011)
- [7] Yoav I. H. Parish and Pascal Müller. 2001. *Procedural modeling of cities*. In Proceedings of the 28th annual conference on Computer graphics and interactive techniques (SIGGRAPH '01). ACM, New York, NY, USA, 301-308. DOI: <https://doi.org/10.1145/383259.383292>
- [8] The World of Notch. Consultado el 11-09-2017 en <https://notch.tumblr.com/post/3746989361/terrain-generation-part-1>.
- [9] Post de ship-not-even-wrong en reddit.  
Consultado el 12-09-2017 en [https://www.reddit.com/r/gamedev/comments/1k6i17/a\\_3d\\_procedural\\_spaceship\\_model\\_generator/](https://www.reddit.com/r/gamedev/comments/1k6i17/a_3d_procedural_spaceship_model_generator/).
- [10] Página de teselación de la wiki oficial de OpenGL Consultado el 15-09-2017 en <https://www.khronos.org/opengl/wiki/Tessellation>.



---

---

## APÉNDICE A

# Gramática completa

---

Alfabeto:

- |         |          |        |        |
|---------|----------|--------|--------|
| ▪ START | ▪ BACK   | ▪ RAMP | ▪ WALL |
| ▪ FRONT | ▪ CENTER | ▪ FLAT | ▪ P    |

Axioma:

P(0,0), START, P(1,0)

Producciones:

START → FRONT P<sub>v</sub>([0.3,0.4],[0.2,0.3]) CENTER P<sub>v</sub>([0.6,0.7],[0.2,0.3]) BACK (33 %)  
| FRONT P<sub>v</sub>([0.4,0.6],[0.2,0.3]) CENTER P<sub>v</sub>(1,[0.2-0.3]) (33 %)  
| FRONT P([0.25,0.75],[0.2,0.3]) BACK (34 %)

HEAD → WALL P(0,[0.05,0.15]) RAMP P([0.90,1.0],[-0.1,0.05]) WALL (20 %)  
| WALL P(0,[0.05,0.15]) RAMP P<sub>va</sub>([0.3,0.4],[0.3,0.4])  
| FLAT P<sub>va</sub>(1,[0.3,0.4]) WALL (20 %)  
| RAMP P([0.90,1.0],[-0.1,0.05]) WALL (20 %)  
| WALL P(0,[0.05,0.15]) RAMP (20 %)  
| RAMP (20 %)

TAIL → RAMP P<sub>va</sub>([0.3,0.5],[0.3,0.4]) FLAT P<sub>va</sub>(1,[0.3,0.4]) WALL (100 %)



---

---

## APÉNDICE B

# Curvas de Bézier

---

Definición de la cabecera

**Código B.1:** Definición de la cabecera

```
1
2 #ifndef CUBIC_BEZIER_SPLINE_GENERATOR_H
3 #define CUBIC_BEZIER_SPLINE_GENERATOR_H
4
5
6 #include <vector>
7 #include <tuple>
8 #include <glm/glm.hpp>
9
10 class CubicPoliBezierGenerator
11 {
12     public:
13     CubicPoliBezierGenerator ();
14     ~CubicPoliBezierGenerator ();
15
16     CubicPoliBezierGenerator& setNumSlices(unsigned int n);
17     CubicPoliBezierGenerator& setProfile(
18         const std::vector<glm::vec3> &points
19     );
20     CubicPoliBezierGenerator& buildNumberOfSegments(unsigned int n);
21     CubicPoliBezierGenerator& computeNormalsAtExtremes();
22
23     std::vector<glm::vec3> generate ();
24     std::vector<glm::vec3> generateCasteljauPoints(int forSection, float t);
25     std::vector<glm::vec3> extremities ();
26     std::vector<glm::vec3> boundingBox ();
27
28     glm::vec3 tangent(int section, float t);
29     std::tuple<glm::vec3, glm::vec3, glm::vec3> tnb(int section,
30                                                     float t,
31                                                     float mix=0.0f);
32
33     void center ();
34
35     float on(glm::vec3 point, float error);
36     float project(glm::vec3 point, float error=0.00001);
37
38     std::vector<float> xRoots ();
39
40     glm::vec3 getPoint(int section, float t);
41     int getNumSections ();
42     std::vector<glm::vec3> getProfile ();
43
44     protected:
```

```

45     const static unsigned int grade;
46     unsigned int slices;
47
48     bool useDivisionsPerSide;
49
50     std::vector<glm::vec3> profile;
51     std::vector<glm::vec3> lut;
52     std::vector<int> sectionStartAt;
53     std::vector<int> slicesPerSide;
54
55     std::vector<float> angleOfNormalsAtExtremes;
56
57     bool normalsPrecalculated;
58
59 };
60
61
62
63 #endif

```

### Código B.2: Definición de los métodos

```

1
2 #include "CubicPoliBezierGenerator.h"
3
4 #define M_PI 3.14159265358979323846
5 #include <cmath>
6 #include <glm/gtc/matrix_transform.hpp>
7 #include <glm/gtc/epsilon.hpp>
8
9 #define CUBEROOT(x) (x<0) ? -pow(-x, 1.0 / 3.0) : pow(x, 1.0 / 3.0)
10
11 const unsigned int CubicPoliBezierGenerator::grade = 4;
12
13
14 CubicPoliBezierGenerator::CubicPoliBezierGenerator()
15 {
16     slices = 10;
17     useDivisionsPerSide = false;
18     normalsPrecalculated = false;
19 }
20
21
22 CubicPoliBezierGenerator::~CubicPoliBezierGenerator()
23 {
24 }
25
26 CubicPoliBezierGenerator & CubicPoliBezierGenerator::setNumSlices(unsigned int
    n)
27 {
28     slices = n;
29     useDivisionsPerSide = false;
30
31     return *this;
32 }
33
34 CubicPoliBezierGenerator & CubicPoliBezierGenerator::setProfile(const std::
    vector<glm::vec3>& points)
35 {
36     profile = points;
37     useDivisionsPerSide = false;
38
39     normalsPrecalculated = false;
40

```

```

41 return *this;
42 }
43
44 CubicPoliBezierGenerator & CubicPoliBezierGenerator::buildNumberOfSegments(
    unsigned int n)
45 {
46     if (profile.size() >= grade) {
47         slicesPerSide.clear();
48         for (unsigned int i = 0; i < profile.size() - (grade - 1); i += grade - 1)
49             {
50                 float length = 0;
51                 for (unsigned int j = 0; j < grade - 1; j++) {
52                     length += glm::distance(profile[i + j], profile[i + j + 1]);
53                 }
54                 int nslices = length*n;
55                 if (nslices == 0) nslices++;
56                 slicesPerSide.push_back(nslices);
57             }
58         slices = n;
59     }
60     return *this;
61 }
62
63 CubicPoliBezierGenerator & CubicPoliBezierGenerator::computeNormalsAtExtremes()
64 {
65     unsigned int sections = (profile.size() - 1) / (grade - 1);
66     angleOfNormalsAtExtremes = std::vector<float>(sections * 2);
67
68     std::vector<glm::vec3> tangentsAtExtremes(sections * 2);
69     std::vector<glm::vec3> normalsAtExtremes(sections * 2);
70
71     for (int i = 0; i < sections; i++) {
72
73         glm::vec3 tang = tangent(i, 0);
74         glm::vec3 tangEnd = tangent(i, 1);
75         tangentsAtExtremes[i * 2] = tang;
76         tangentsAtExtremes[i * 2 + 1] = tangEnd;
77
78         //calculer normal at start
79         glm::vec3 tangAux = tangent(i, 0.01);
80         tang = glm::normalize(tang);
81         tangAux = glm::normalize(tangAux);
82         if (glm::all(glm::epsilonEqual(tang, tangAux, glm::vec3(0.00001f, 0.00001f,
83             0.00001f)))){
84             normalsAtExtremes[i * 2] = glm::vec3(0, 0, 0);
85             normalsAtExtremes[i * 2 + 1] = glm::vec3(0, 0, 0);
86
87             angleOfNormalsAtExtremes[i * 2]=0;
88             angleOfNormalsAtExtremes[i * 2 + 1] = 0;
89
90             continue;
91         }
92
93         glm::vec3 c = glm::cross(tangAux, tang);
94
95         glm::mat3 r = glm::mat3(glm::vec3(c.x*c.x, c.x*c.y + c.z, c.x*c.z - c.y),
96             glm::vec3(c.x*c.y - c.z, c.y*c.y, c.y*c.z + c.x),
97             glm::vec3(c.x*c.z + c.y, c.y*c.z - c.x, c.z*c.z));
98
99         glm::vec3 normal = r*tang;
100         normal = glm::normalize(normal);
101         normalsAtExtremes[i * 2] = normal;

```

```

102 //calculer normal at end
103 glm::vec3 tangAuxEnd = tangent(i, 1.01);
104 tangEnd = glm::normalize(tangEnd);
105 tangAuxEnd = glm::normalize(tangAuxEnd);
106
107 glm::vec3 cEnd = glm::cross(tangAuxEnd, tangEnd);
108
109 glm::mat3 rEnd = glm::mat3(glm::vec3(cEnd.x*cEnd.x, cEnd.x*cEnd.y + cEnd.z,
110 cEnd.x*cEnd.z - cEnd.y),
111 glm::vec3(cEnd.x*cEnd.y - cEnd.z, cEnd.y*cEnd.y, cEnd.y*cEnd.z + cEnd.x),
112 glm::vec3(cEnd.x*cEnd.z + cEnd.y, cEnd.y*cEnd.z - cEnd.x, cEnd.z*cEnd.z));
113
114 glm::vec3 normalEnd = rEnd*tangEnd;
115 normalEnd = glm::normalize(normalEnd);
116
117 normalsAtExtremes[i * 2 + 1] = normalEnd;
118
119 }
120
121 int i = 0;
122 while (i < sections) {
123     if (normalsAtExtremes[i * 2] != glm::vec3(0, 0, 0)) {
124         i++;
125         continue;
126     }
127
128     float lastNonZero = 0;
129     if (i != 0) {
130         glm::vec3 normAux = glm::vec3(tangentsAtExtremes[(i - 1) * 2].y, -
131 tangentsAtExtremes[(i - 1) * 2].x, 0);
132         float dotProduct = glm::dot(normAux, normalsAtExtremes[(i - 1) * 2]);
133         if (dotProduct > 1.0f) dotProduct = 1.0f;
134         else if (dotProduct < -1.0f) dotProduct = -1.0f;
135         lastNonZero = acos(dotProduct);
136     }
137     int nextNonZero = 1;
138     while (i + nextNonZero < sections && normalsAtExtremes[nextNonZero * 2] ==
139 glm::vec3(0, 0, 0)) {
140         nextNonZero++;
141     }
142     float nextAngleNonZero = 0;
143     if (nextNonZero != sections) {
144         glm::vec3 normAux = glm::vec3(tangentsAtExtremes[nextNonZero * 2].y, -
145 tangentsAtExtremes[nextNonZero * 2].x, 0);
146         float dotProduct = glm::dot(normAux, normalsAtExtremes[nextNonZero * 2]);
147         if (dotProduct > 1.0f) dotProduct = 1.0f;
148         else if (dotProduct < -1.0f) dotProduct = -1.0f;
149         nextAngleNonZero = acos(dotProduct);
150     }
151     angleOfNormalsAtExtremes[i * 2] = lastNonZero;
152     angleOfNormalsAtExtremes[(i + nextNonZero - 1) * 2 + 1] = nextAngleNonZero;
153
154     for (int j = 1; j < nextNonZero; j++) {
155         float t = (float)j / nextNonZero;
156         float angle = (1 - t)*lastNonZero + t*nextAngleNonZero;
157         angleOfNormalsAtExtremes[(i + j - 1) * 2 + 1] = angle;
158         angleOfNormalsAtExtremes[(i + j) * 2] = angle;
159     }
160     i += nextNonZero;
161 }

```



```

162     normalsPrecalculated = true;
163     return *this;
164 }
165
166
167 std::vector<glm::vec3> CubicPoliBezierGenerator::generate()
168 {
169     lut.clear();
170     sectionStartAt.clear();
171     if (profile.size() >= grade) {
172         unsigned int sections = (profile.size() - 4) / grade;
173         int section = 0;
174         for (unsigned int i = 0; i < profile.size() - (grade - 1); i += grade - 1,
175             section++) {
176             sectionStartAt.push_back(lut.size());
177             int s = useDivisionsPerSide ? slicesPerSide[section] : slices;
178             double temp;
179             for (temp = 0.0; temp + 1.0 / s < 1.0 && glm::epsilonNotEqual(temp + 1.0
180                 / s, 1.0, 1.0 / (s * 2)); temp += 1.0 / s) {
181                 lut.push_back(getPoint(section, temp));
182             }
183             lut.push_back(getPoint(section, 1.0));
184         }
185         sectionStartAt.push_back(lut.size());
186     }
187     return lut;
188 }
189
190 std::vector<glm::vec3> CubicPoliBezierGenerator::generateCasteljauPoints(int
191     forSection, float t)
192 {
193     if (forSection >= 0) {
194         std::vector<glm::vec3> res;
195         for (int i = 0; i < grade - 1; i++) {
196             int pointIndex = forSection * 3 + i;
197             glm::vec3 p = profile[pointIndex] + t*(profile[pointIndex + 1] - profile[
198                 pointIndex]);
199             res.push_back(p);
200         }
201         for (int i = 0; i < grade - 2; i++) {
202             glm::vec3 p = res[i] + t*(res[i + 1] - res[i]);
203             res.push_back(p);
204         }
205         glm::vec3 p = res[res.size() - 2] + t*(res[res.size() - 1] - res[res.size() -
206             2]);
207         res.push_back(p);
208         return res;
209     }
210     return std::vector<glm::vec3>();
211 }
212
213
214
215 std::vector<glm::vec3> CubicPoliBezierGenerator::extremities()
216 {
217     return std::vector<glm::vec3>();
218 }
219
220
221 std::vector<glm::vec3> CubicPoliBezierGenerator::boundingBox()
222 {
223     unsigned int sections = (profile.size() - 1) / (grade - 1);
224     glm::vec3 min = profile[0];

```

```

221 glm::vec3 max = profile[0];
222
223 for (int j = 0; j < sections; j++) {
224     int i = j * 3;
225     glm::vec3 a = 3.0f * profile[i + 3] - 9.0f * profile[i + 2] + 9.0f *
        profile[i + 1] - 3.0f * profile[i];
226     glm::vec3 b = 6.0f * profile[i] - 12.0f * profile[i + 1] + 6.0f * profile[i
        + 2];
227     glm::vec3 c = 3.0f * profile[i + 1] - 3.0f * profile[i];
228
229     glm::vec3 rootContent = b * b - 4.0f * a * c;
230
231     if (profile[i].x < min.x) min.x = profile[i].x;
232     if (profile[i].y < min.y) min.y = profile[i].y;
233     if (profile[i].z < min.z) min.z = profile[i].z;
234
235     if (profile[i].x > max.x) max.x = profile[i].x;
236     if (profile[i].y > max.y) max.y = profile[i].y;
237     if (profile[i].z > max.z) max.z = profile[i].z;
238
239
240     //x component
241     if (a.x != 0) {
242         if (rootContent.x >= 0) {
243             float t = (-b.x + sqrt(rootContent.x)) / (2 * a.x);
244
245             if (t > 0 && t < 1) {
246                 glm::vec3 p = getPoint(j, t);
247                 if (p.x < min.x) min.x = p.x;
248                 if (p.x > max.x) max.x = p.x;
249             }
250
251             t = (-b.x - sqrt(rootContent.x)) / (2 * a.x);
252
253             if (t > 0 && t < 1) {
254                 glm::vec3 p = getPoint(j, t);
255                 if (p.x < min.x) min.x = p.x;
256                 if (p.x > max.x) max.x = p.x;
257             }
258         }
259     }
260     else {
261         float t = -c.x / b.x;
262         if (t > 0 && t < 1) {
263             glm::vec3 p = getPoint(j, t);
264             if (p.x < min.x) min.x = p.x;
265             if (p.x > max.x) max.x = p.x;
266         }
267     }
268     //y component
269     if (a.y != 0) {
270         if (rootContent.y >= 0) {
271             float t = (-b.y + sqrt(rootContent.y)) / (2 * a.y);
272
273             if (t > 0 && t < 1) {
274                 glm::vec3 p = getPoint(j, t);
275                 if (p.y < min.y) min.y = p.y;
276                 if (p.y > max.y) max.y = p.y;
277             }
278
279             t = (-b.y - sqrt(rootContent.y)) / (2 * a.y);
280
281             if (t > 0 && t < 1) {
282                 glm::vec3 p = getPoint(j, t);

```

```

283         if (p.y < min.y) min.y = p.y;
284         if (p.y > max.y) max.y = p.y;
285     }
286 }
287 }
288 else {
289     float t = -c.y / b.y;
290     if (t > 0 && t < 1) {
291         glm::vec3 p = getPoint(j, t);
292         if (p.y < min.y) min.y = p.y;
293         if (p.y > max.y) max.y = p.y;
294     }
295 }
296 //z component
297 if (a.z != 0) {
298     if (rootContent.z >= 0) {
299         float t = (-b.z + sqrt(rootContent.z)) / (2 * a.z);
300
301         if (t > 0 && t < 1) {
302             glm::vec3 p = getPoint(j, t);
303             if (p.z < min.z) min.z = p.z;
304             if (p.z > max.z) max.z = p.z;
305         }
306
307         t = (-b.z - sqrt(rootContent.z)) / (2 * a.z);
308
309         if (t > 0 && t < 1) {
310             glm::vec3 p = getPoint(j, t);
311             if (p.z < min.z) min.z = p.z;
312             if (p.z > max.z) max.z = p.z;
313         }
314     }
315 }
316 else {
317     float t = -c.z / b.z;
318     if (t > 0 && t < 1) {
319         glm::vec3 p = getPoint(j, t);
320         if (p.z < min.z) min.z = p.z;
321         if (p.z > max.z) max.z = p.z;
322     }
323 }
324 }
325
326 if (profile[sections * 3].x < min.x) min.x = profile[sections * 3].x;
327 if (profile[sections * 3].y < min.y) min.y = profile[sections * 3].y;
328 if (profile[sections * 3].z < min.z) min.z = profile[sections * 3].z;
329
330 if (profile[sections * 3].x > max.x) max.x = profile[sections * 3].x;
331 if (profile[sections * 3].y > max.y) max.y = profile[sections * 3].y;
332 if (profile[sections * 3].z > max.z) max.z = profile[sections * 3].z;
333
334 std::vector<glm::vec3> res(2);
335 res[0] = min; res[1] = max;
336 return res;
337 }
338 }
339
340 glm::vec3 CubicPoliBezierGenerator::tangent(int section, float t)
341 {
342     float mt = 1 - t,
343     a = 3*mt*mt, b = 6*mt * t, c = 3*t*t;
344
345     int startPoint = section * 3;
346

```

```

347 glm::vec3 res = a*(profile[startPoint + 1] - profile[startPoint]) +
348 b*(profile[startPoint + 2] - profile[startPoint + 1]) +
349 c*(profile[startPoint + 3] - profile[startPoint + 2]);
350 if (res == glm::vec3(0, 0, 0)) {
351     res = profile[startPoint + 2] - profile[startPoint + 1];
352 }
353 res = glm::normalize(res);
354 return res;
355 }
356
357 std::tuple<glm::vec3, glm::vec3, glm::vec3> CubicPoliBezierGenerator::tnb(int
    section, float t, float mix)
358 {
359     glm::vec3 tang;
360     glm::vec3 tangAux;
361     if (t >= 1.0f) {
362         tang = tangent(section, t-0.01);
363         tangAux = tangent(section, t);
364     }
365     else {
366         tang = tangent(section, t);
367         tangAux = tangent(section, t + 0.01);
368     }
369     tang = glm::normalize(tang);
370     tangAux = glm::normalize(tangAux);
371
372     glm::vec3 normal = glm::vec3(tang.y, -tang.x, tang.z);
373     glm::vec3 binormal = glm::cross(tang, normal);
374     binormal = glm::normalize(binormal);
375
376     return std::make_tuple(tang, normal, binormal);
377 }
378
379 void CubicPoliBezierGenerator::center()
380 {
381     std::vector<glm::vec3> bb = boundingBox();
382     glm::vec3 despl = -(bb[0] + (bb[1] - bb[0])/2.0f);
383     for (unsigned int i = 0; i < profile.size(); i++) {
384         profile[i] += despl;
385     }
386 }
387
388 float CubicPoliBezierGenerator::on(glm::vec3 point, float error)
389 {
390     float minDistance = INFINITY;
391     float minSection = -1;
392     std::vector<float> t;
393     for (int i = 0; i < sectionStartAt.size()-1; i++) {
394         t.push_back(0);
395         int hits = 0;
396         for (int j = sectionStartAt[i]; j < sectionStartAt[i + 1]; j++) {
397             float dist = glm::distance(point, lut[j]);
398             if (dist < error) {
399                 t.back() += (float)(j - sectionStartAt[i]) / (sectionStartAt[i + 1] -
                    sectionStartAt[i]);
400                 hits++;
401                 if (minDistance > dist) {
402                     minDistance = dist;
403                     minSection = i;
404                 }
405             }
406         }
407         t.back() /= hits;
408     }

```

```

409     if (minSection == -1) return -1;
410     return minSection + t[minSection];
411 }
412 }
413
414 float CubicPoliBezierGenerator::project(glm::vec3 point, float error)
415 {
416     float minDistance = INFINITY;
417     int minSection = -1;
418     int minLUT;
419     for (int i = 0; i < sectionStartAt.size() - 1; i++) {
420         for (int j = sectionStartAt[i]; j < sectionStartAt[i + 1]; j++) {
421             float dist = glm::distance(point, lut[j]);
422             if (minDistance > dist) {
423                 minDistance = dist;
424                 minSection = i;
425                 minLUT = j;
426             }
427         }
428     }
429 }
430
431 if (minLUT == sectionStartAt[minSection] || minLUT == sectionStartAt[
432     minSection + 1]) {
433     return minSection + (float)(minLUT - sectionStartAt[minSection]) / (
434         sectionStartAt[minSection + 1] - sectionStartAt[minSection]);
435 }
436
437 // step 2: fine check
438 float t = (float)(minLUT - sectionStartAt[minSection]) / (sectionStartAt[
439     minSection + 1] - sectionStartAt[minSection]);
440 float incrementT = 1 / (sectionStartAt[minSection + 1] - sectionStartAt[
441     minSection]);
442 while (true) {
443     glm::vec3 p = getPoint(minSection, t);
444     glm::vec3 tPlusInter = getPoint(minSection, t + incrementT / 2);
445     glm::vec3 tMinusInter = getPoint(minSection, t - incrementT / 2);
446     float distPPlus = glm::distance(point, tPlusInter);
447     float distPMinus = glm::distance(point, tMinusInter);
448     float distPP = glm::distance(point, p);
449
450     float diffPPlus = distPPlus > distPP ? distPPlus - distPP : distPP -
451         distPPlus;
452     float diffPMinus = distPMinus > distPP ? distPMinus - distPP : distPP -
453         distPMinus;
454
455     if (diffPPlus <= error || diffPMinus <= error) break;
456     else if (distPPlus < distPP) {
457         t = t + incrementT / 2;
458     }
459     else if (distPMinus < distPP) {
460         t = t - incrementT / 2;
461     }
462     else {
463         incrementT /= 2;
464     }
465 }
466
467 return minSection + t;
468 }
469
470 std::vector<float> CubicPoliBezierGenerator::xRoots()
471 {
472     std::vector<float> result;

```

```

467 for (int i = 0, section = 0; i + 3 < profile.size(); i += 3, section++) {
468     double pa = profile[i].x, pb = profile[i + 1].x, pc = profile[i + 2].x, pd
         = profile[i + 3].x;
469
470     double d = (-pa + 3 * pb - 3 * pc + pd),
471     a = (3 * pa - 6 * pb + 3 * pc) / d,
472     b = (-3 * pa + 3 * pb) / d,
473     c = pa / d;
474     double p = (3 * b - a*a) / 3,
475     p3 = p / 3,
476     q = (2 * a*a*a - 9 * a*b + 27 * c) / 27,
477     q2 = q / 2,
478     discriminant = q2*q2 + p3*p3*p3;
479
480     if (glm::epsilonEqual(discriminant, 0.0000, 0.0000001)) {
481         double u1 = q2 < 0 ? CUBEROOT(-q2) : -CUBEROOT(q2);
482         double root1 = 2 * u1 - a / 3;
483         double root2 = -u1 - a / 3;
484
485         if (root1 >= 0 && root1 < 1) result.push_back(section + root1);
486         if (root2 >= 0 && root2 < 1) result.push_back(section + root2);
487
488     }
489     else if (discriminant < 0) {
490         double mp3 = -p / 3,
491         mp33 = mp3*mp3*mp3,
492         r = sqrt(mp33),
493         t = -q / (2 * r),
494         cosphi = t < -1 ? -1 : t > 1 ? 1 : t,
495         phi = acos(cosphi),
496         crtr = CUBEROOT(r),
497         t1 = 2 * crtr;
498         double root1 = t1 * cos(phi / 3) - a / 3;
499         double root2 = t1 * cos((phi + 2 * M_PI) / 3) - a / 3;
500         double root3 = t1 * cos((phi + 4 * M_PI) / 3) - a / 3;
501
502         if (root1 >= 0 && root1 < 1) result.push_back(section + root1);
503         if (root2 >= 0 && root2 < 1) result.push_back(section + root2);
504         if (root3 >= 0 && root3 < 1) result.push_back(section + root3);
505
506     }
507     else {
508         double sd = sqrt(discriminant);
509         double u1 = CUBEROOT(sd - q2);
510         double v1 = CUBEROOT(sd + q2);
511         double root1 = u1 - v1 - a / 3;
512
513         if (root1 >= 0 && root1 < 1) result.push_back(section + root1);
514
515     }
516 }
517 return result;
518 }
519
520 glm::vec3 CubicPoliBezierGenerator::getPoint(int section, float t)
521 {
522     int nsect = (profile.size() - 1) / (grade - 1);
523     if (nsect > section) {
524         int k = grade - 1;
525
526         int startPoint = section * k;
527
528         float invertedT = 1 - t;
529         float squaredit = invertedT * invertedT;

```

```
530     float cubicit = squaredit * invertedT;
531
532     float squaredT = t*t;
533     float cubicT = squaredT*t;
534
535     glm::vec3 Pt = cubicit*profile[startPoint] + 3 * squaredit*t*profile[
        startPoint + 1] + 3 * invertedT*squaredT*profile[startPoint + 2] +
        cubicT*profile[startPoint + 3];
536     return Pt;
537 }
538
539 return glm::vec3();
540 }
541
542 int CubicPoliBezierGenerator::getNumSections()
543 {
544     return (profile.size() - 1) / (grade - 1);
545 }
546
547 std::vector<glm::vec3> CubicPoliBezierGenerator::getProfile()
548 {
549     return profile;
550 }
```





---

## APÉNDICE C

# Teselación de un parche de Bézier

---

Código C.1: cuadrilátero

```
1 void ShipBodyModel::triangulateQuadrilateral(const std::vector<glm::vec3> &
2   curveA, const std::vector<glm::vec3> &curveB, float subdivisions, float
3   scale, std::vector<glm::vec3>* meshVertex, std::vector<GLuint>* meshIndex,
4   std::vector<glm::vec3>* meshNormals, std::vector<glm::vec2>* meshRS)
5 {
6   const int vertexStart = meshVertex->size();
7   const int indexStart = meshIndex->size();
8   const int normalsStart = meshNormals->size();
9   const int uvStart = meshRS->size();
10
11   const int outerSub[4] = {
12     glm::length(curveA[3] - curveA[0])*subdivisions + 2,
13     glm::length(curveB[3] - curveA[3])*subdivisions + 2,
14     glm::length(curveB[3] - curveB[0])*subdivisions + 2,
15     glm::length(curveA[0] - curveB[0])*subdivisions + 2
16   };
17
18   const int minXSubs = glm::min(outerSub[0], outerSub[2]);
19   const int maxXSubs = glm::max(outerSub[0], outerSub[2]);
20
21   const int minYSubs = glm::min(outerSub[1], outerSub[3]);
22   const int maxYSubs = glm::max(outerSub[1], outerSub[3]);
23
24   const int innerSub[2] = { (minXSubs + maxXSubs) / 2, (minYSubs + maxYSubs) / 2
25     };
26
27   std::vector<glm::vec2> UV;
28
29   std::vector<glm::vec2> outerRing, innerRing;
30
31   //-----
32   //First
33   //Ring
34   //-----
35
36   //A Segment
37   for (int i = 0; i < outerSub[0]; i++) {
38     glm::vec2 point(i * 1.0f / outerSub[0], 0.0f);
39     UV.push_back(point);
40     outerRing.push_back(point);
41   }
42 }
```

```

43 //AB Segment
44 for (int i = 0; i < outerSub[1]; i++) {
45     glm::vec2 point(1.0f, i * 1.0f / outerSub[1]);
46     UV.push_back(point);
47     outerRing.push_back(point);
48 }
49
50
51 //B Segment
52 //inverse
53 for (int i = 0; i < outerSub[2]; i++) {
54     glm::vec2 point((outerSub[2] - i) * 1.0f / outerSub[2], 1.0f);
55     UV.push_back(point);
56     outerRing.push_back(point);
57 }
58
59
60 //BA Segment
61 //inverse
62 for (int i = 0; i < outerSub[3]; i++) {
63     glm::vec2 point(0.0f, (outerSub[3] - i) * 1.0f / outerSub[3]);
64     UV.push_back(point);
65     outerRing.push_back(point);
66 }
67
68
69 int AStart = vertexStart, BStart = AStart + outerRing.size();
70
71
72
73 //Base cases
74 if (innerSub[0] == 1) {
75     meshIndex->push_back(AStart + 0);
76     meshIndex->push_back(AStart + 1);
77     meshIndex->push_back(AStart + outerRing.size() - 1);
78
79     meshIndex->push_back(AStart + 1);
80     meshIndex->push_back(AStart + 2);
81     meshIndex->push_back(AStart + outerRing.size() - 1);
82
83     for (int i = 2; i <= outerRing.size() / 2; i += 1) {
84         meshIndex->push_back(AStart + outerRing.size() - i + 1);
85         meshIndex->push_back(AStart + i);
86         meshIndex->push_back(AStart + outerRing.size() - i);
87
88         meshIndex->push_back(AStart + i);
89         meshIndex->push_back(AStart + i + 1);
90         meshIndex->push_back(AStart + outerRing.size() - i);
91
92     }
93
94 }
95 else if (innerSub[1] == 1) {
96     for (int i = 0; i + 1 < outerRing.size() / 2; i += 1) {
97         meshIndex->push_back(AStart + i);
98         meshIndex->push_back(AStart + outerRing.size() - i - 2);
99         meshIndex->push_back(AStart + outerRing.size() - i - 1);
100
101         meshIndex->push_back(AStart + i);
102         meshIndex->push_back(AStart + i + 1);
103         meshIndex->push_back(AStart + outerRing.size() - i - 2);
104
105     }
106 }

```

```

107 else if (innerSub[0] == 2) {
108     int rings = 1;
109     for (int i = rings; i + rings <= innerSub[1]; i++) {
110
111         glm::vec2 point(rings * 1.0f / innerSub[0], i * 1.0f / innerSub[1]);
112         UV.push_back(point);
113         innerRing.push_back(point);
114     }
115
116     int despA = 0;
117
118
119     for (int i = 0; i < outerSub[0]; i++) {
120         meshIndex->push_back(AStart + 1 + i + despA);
121         meshIndex->push_back(BStart + 0);
122         meshIndex->push_back(AStart + 0 + i + despA);
123
124     }
125
126     despA += outerSub[0];
127     int i = 0, j = 0;
128     while (i < outerSub[1] && j + 1 < innerRing.size()) {
129         glm::vec2 distItoJ = outerRing[despA + i] - innerRing[j + 1];
130         glm::vec2 distJtoI = outerRing[despA + i + 1] - innerRing[j];
131         float lengthItoJ = glm::length(distItoJ), lengthJtoI = glm::length(
132             distJtoI);
133         if (glm::length(distItoJ) < glm::length(distJtoI)) {
134             meshIndex->push_back(BStart + j);
135             meshIndex->push_back(AStart + i + despA);
136             meshIndex->push_back(BStart + j + 1);
137             j++;
138         }
139         else {
140             meshIndex->push_back(BStart + j);
141             meshIndex->push_back(AStart + i + despA);
142             meshIndex->push_back(AStart + i + 1 + despA);
143             i++;
144         }
145
146     while (i < outerSub[1]) {
147         meshIndex->push_back(BStart + j);
148         meshIndex->push_back(AStart + i + despA);
149         meshIndex->push_back(AStart + i + 1 + despA);
150         i = i + 1;
151     }
152
153
154     despA += outerSub[1];
155     for (int i = 0; i < outerSub[2]; i++) {
156         meshIndex->push_back(AStart + 1 + i + despA);
157         meshIndex->push_back(BStart + innerRing.size() - 1);
158         meshIndex->push_back(AStart + 0 + i + despA);
159     }
160
161     i = 0, j = innerRing.size() - 1;
162     despA += outerSub[2];
163     while (i < outerSub[3] && j > 0) {
164         glm::vec2 distItoJ = outerRing[despA + i] - innerRing[j - 1];
165         glm::vec2 distJtoI = outerRing[(despA + i + 1) % outerRing.size()] -
166             innerRing[j];
167         float lengthItoJ = glm::length(distItoJ), lengthJtoI = glm::length(
168             distJtoI);
169         if (glm::length(distItoJ) < glm::length(distJtoI)) {

```

```

168     meshIndex->push_back(BStart + j);
169     meshIndex->push_back(AStart + i + despA);
170     meshIndex->push_back(BStart + j - 1);
171     j--;
172 }
173 else {
174     meshIndex->push_back(BStart + j);
175     meshIndex->push_back(AStart + i + despA);
176     meshIndex->push_back(AStart + i + 1 + despA);
177     i++;
178 }
179 }
180 while (i < outerSub[3]) {
181     meshIndex->push_back(BStart + j);
182     meshIndex->push_back(AStart + i + despA);
183     meshIndex->push_back(AStart + (i + 1 + despA) % outerRing.size());
184     i = i + 1;
185 }
186
187
188 }
189 else if (innerSub[1] == 2) {
190     int rings = 1;
191     for (int i = rings; i + rings <= innerSub[0]; i++) {
192         glm::vec2 point(i * 1.0f / innerSub[0], rings * 1.0f / innerSub[1]);
193         UV.push_back(point);
194         innerRing.push_back(point);
195     }
196
197     int despA = 0;
198
199     int i = 0, j = 0;
200     while (i < outerSub[0] && j + 1 < innerRing.size()) {
201         glm::vec2 distItoJ = outerRing[despA + i] - innerRing[j + 1];
202         glm::vec2 distJtoI = outerRing[despA + i + 1] - innerRing[j];
203         float lengthItoJ = glm::length(distItoJ), lengthJtoI = glm::length(
204             distJtoI);
205         if (glm::length(distItoJ) < glm::length(distJtoI)) {
206             meshIndex->push_back(BStart + j);
207             meshIndex->push_back(AStart + i + despA);
208             meshIndex->push_back(BStart + j + 1);
209             j++;
210         }
211         else {
212             meshIndex->push_back(BStart + j);
213             meshIndex->push_back(AStart + i + despA);
214             meshIndex->push_back(AStart + i + 1 + despA);
215             i++;
216         }
217     }
218
219     while (i < outerSub[0]) {
220         meshIndex->push_back(BStart + j);
221         meshIndex->push_back(AStart + i + despA);
222         meshIndex->push_back(AStart + i + 1 + despA);
223         i = i + 1;
224     }
225
226     despA += outerSub[0];
227
228     for (int i = 0; i < outerSub[1]; i++) {
229         meshIndex->push_back(AStart + 1 + i + despA);
230         meshIndex->push_back(BStart + innerRing.size() - 1);
231         meshIndex->push_back(AStart + 0 + i + despA);

```

```

231 }
232
233 i = 0, j = innerRing.size() - 1;
234 despA += outerSub[1];
235
236 while (i < outerSub[2] && j > 0) {
237     glm::vec2 distItoJ = outerRing[despA + i] - innerRing[j - 1];
238     glm::vec2 distJtoI = outerRing[(despA + i + 1) % outerRing.size()] -
239         innerRing[j];
240     float lengthItoJ = glm::length(distItoJ), lengthJtoI = glm::length(
241         distJtoI);
242     if (glm::length(distItoJ) < glm::length(distJtoI)) {
243         meshIndex->push_back(BStart + j);
244         meshIndex->push_back(AStart + i + despA);
245         meshIndex->push_back(BStart + j - 1);
246         j--;
247     }
248     else {
249         meshIndex->push_back(BStart + j);
250         meshIndex->push_back(AStart + i + despA);
251         meshIndex->push_back(AStart + i + 1 + despA);
252         i++;
253     }
254 }
255 while (i < outerSub[2]) {
256     meshIndex->push_back(BStart + j);
257     meshIndex->push_back(AStart + i + despA);
258     meshIndex->push_back(AStart + (i + 1 + despA));
259     i = i + 1;
260 }
261 despA += outerSub[2];
262 for (int i = 0; i <= outerSub[3]; i++) {
263     meshIndex->push_back(AStart + (1 + i + despA) % outerRing.size());
264     meshIndex->push_back(BStart + 0);
265     meshIndex->push_back(AStart + 0 + i + despA);
266 }
267 }
268 else {
269
270
271
272 //-----
273 //Second
274 //Ring
275 //-----
276
277 //inner A Segment (x)
278 for (int i = 1; i + 1 < innerSub[0]; i++) {
279     glm::vec2 point(i * 1.0f / innerSub[0], 1.0f / innerSub[1]);
280     UV.push_back(point);
281     innerRing.push_back(point);
282 }
283
284
285 //inner AB Segment (y)
286 for (int i = 1; i + 1 < innerSub[1]; i++) {
287     glm::vec2 point(1.0f - 1.0f / innerSub[0], i * 1.0f / innerSub[1]);
288     UV.push_back(point);
289     innerRing.push_back(point);
290 }
291
292 //inner B Segment (x)

```

```

293 //inverse
294 for (int i = 1; i + 1 < innerSub[0]; i++) {
295     glm::vec2 point((innerSub[0] - i) * 1.0f / innerSub[0], 1.0f - 1.0f /
296         innerSub[1]);
297     UV.push_back(point);
298     innerRing.push_back(point);
299 }
300 //inner BA Segment (y)
301 //inverse
302 for (int i = 1; i + 1 < innerSub[1]; i++) {
303     glm::vec2 point(0.0f + 1.0f / innerSub[0], (innerSub[1] - i) * 1.0f /
304         innerSub[1]);
305     UV.push_back(point);
306     innerRing.push_back(point);
307 }
308 //make triangle index for first and second ring (diferent number of points)
309 int i = 0, j = 0;
310 int segment = 0;
311 int maxI = 0, maxJ = 0;
312 while (segment < 4) {
313     maxI += outerSub[segment];
314     maxJ += innerSub[segment % 2] - 2;
315     while (i < maxI && j < maxJ) {
316         glm::vec2 distItoJ = outerRing[i] - innerRing[(j + 1) % innerRing.size
317             ()];
318         glm::vec2 distJtoI = outerRing[(i + 1) % outerRing.size()] - innerRing[
319             j];
320         float lengthItoJ = glm::length(distItoJ), lengthJtoI = glm::length(
321             distJtoI);
322         if (glm::length(distItoJ) < glm::length(distJtoI)) {
323             meshIndex->push_back(BStart + j % innerRing.size());
324             meshIndex->push_back(AStart + i % outerRing.size());
325             meshIndex->push_back(BStart + (j + 1) % innerRing.size());
326             j++;
327         }
328         else {
329             meshIndex->push_back(BStart + j % innerRing.size());
330             meshIndex->push_back(AStart + i % outerRing.size());
331             meshIndex->push_back(AStart + (i + 1) % outerRing.size());
332             i++;
333         }
334     }
335     while (i < maxI && i < outerRing.size()) {
336         meshIndex->push_back(BStart + j % innerRing.size());
337         meshIndex->push_back(AStart + i % outerRing.size());
338         meshIndex->push_back(AStart + (i + 1) % outerRing.size());
339         i = i + 1;
340     }
341     while (j < maxJ && j < innerRing.size()) {
342         meshIndex->push_back(BStart + j % innerRing.size());
343         meshIndex->push_back(AStart + i % outerRing.size());
344         meshIndex->push_back(BStart + (j + 1) % innerRing.size());
345         j = j + 1;
346     }
347     segment++;
348 }
349 //update starting point for indexing points
350 AStart = BStart;
351 BStart += innerRing.size();
352 //pass next ring

```

```

352 outerRing = innerRing;
353 innerRing.clear();
354
355
356
357 //do the same with all grid rings
358 int rings = 1;
359 while (innerSub[0] - rings * 2 > 2 && innerSub[1] - rings * 2 > 2) {
360     rings++;
361
362
363 //inner A Segment (x)
364 for (int i = rings; i + rings < innerSub[0]; i++) {
365     glm::vec2 point(i * 1.0f / innerSub[0], rings * 1.0f / innerSub[1]);
366     UV.push_back(point);
367     innerRing.push_back(point);
368 }
369
370
371 //inner AB Segment (y)
372 for (int i = rings; i + rings < innerSub[1]; i++) {
373     glm::vec2 point(1.0f - rings * 1.0f / innerSub[0], i * 1.0f / innerSub
374 [1]);
375     UV.push_back(point);
376     innerRing.push_back(point);
377 }
378
379 //inner B Segment (x)
380 //inverse
381 for (int i = rings; i + rings < innerSub[0]; i++) {
382     glm::vec2 point((innerSub[0] - i) * 1.0f / innerSub[0], 1.0f - rings *
383 1.0f / innerSub[1]);
384     UV.push_back(point);
385     innerRing.push_back(point);
386 }
387
388 //inner BA Segment (y)
389 //inverse
390 for (int i = rings; i + rings < innerSub[1]; i++) {
391     glm::vec2 point(rings * 1.0f / innerSub[0], (innerSub[1] - i) * 1.0f /
392 innerSub[1]);
393     UV.push_back(point);
394     innerRing.push_back(point);
395 }
396
397 //make triangle index TODO: Make a proper way to do this
398
399 int i = 0, j = 0;
400 int segment = 0;
401 int maxI = 0, maxJ = 0;
402 while (segment < 4) {
403     maxI += innerSub[segment % 2] - 2 * (rings - 1);
404     maxJ += innerSub[segment % 2] - 2 * rings;
405     while (i < maxI && j < maxJ) {
406         glm::vec2 distItoJ = outerRing[i] - innerRing[(j + 1) % innerRing.
407 size()];
408         glm::vec2 distJtoI = outerRing[(i + 1) % outerRing.size()] -
409 innerRing[j];
410         float lengthIToJ = glm::length(distItoJ), lengthJToI = glm::length(
411 distJtoI);
412         if (glm::length(distItoJ) < glm::length(distJtoI)) {
413             meshIndex->push_back(BStart + j % innerRing.size());
414             meshIndex->push_back(AStart + i % outerRing.size());

```

```

410     meshIndex->push_back(BStart + (j + 1) % innerRing.size());
411     j++;
412 }
413 else {
414     meshIndex->push_back(BStart + j % innerRing.size());
415     meshIndex->push_back(AStart + i % outerRing.size());
416     meshIndex->push_back(AStart + (i + 1) % outerRing.size());
417     i++;
418 }
419 }
420 while (i < maxI && i < outerRing.size()) {
421     meshIndex->push_back(BStart + j % innerRing.size());
422     meshIndex->push_back(AStart + i % outerRing.size());
423     meshIndex->push_back(AStart + (i + 1) % outerRing.size());
424     i = i + 1;
425 }
426 while (j < maxJ && j < innerRing.size()) {
427     meshIndex->push_back(BStart + j % innerRing.size());
428     meshIndex->push_back(AStart + i % outerRing.size());
429     meshIndex->push_back(BStart + (j + 1) % innerRing.size());
430
431     j = j + 1;
432 }
433 segment++;
434 }
435
436 //update starting point for indexing points
437 AStart = BStart;
438 BStart += innerRing.size();
439
440
441 outerRing = innerRing;
442 innerRing.clear();
443
444 }
445
446 int xLeft = innerSub[0] - rings * 2;
447 int yLeft = innerSub[1] - rings * 2;
448
449 if (xLeft == 1) {
450     meshIndex->push_back(AStart + 0);
451     meshIndex->push_back(AStart + 1);
452     meshIndex->push_back(AStart + outerRing.size() - 1);
453
454     meshIndex->push_back(AStart + 1);
455     meshIndex->push_back(AStart + 2);
456     meshIndex->push_back(AStart + outerRing.size() - 1);
457
458     for (int i = 2; i <= outerRing.size() / 2; i += 1) {
459         meshIndex->push_back(AStart + outerRing.size() - i + 1);
460         meshIndex->push_back(AStart + i);
461         meshIndex->push_back(AStart + outerRing.size() - i);
462
463         meshIndex->push_back(AStart + i);
464         meshIndex->push_back(AStart + i + 1);
465         meshIndex->push_back(AStart + outerRing.size() - i);
466
467     }
468
469 }
470 else if (yLeft == 1) {
471     for (int i = 0; i + 1 < outerRing.size() / 2; i += 1) {
472         meshIndex->push_back(AStart + i);
473         meshIndex->push_back(AStart + outerRing.size() - i - 2);

```



```

474     meshIndex->push_back(AStart + outerRing.size() - i - 1);
475
476     meshIndex->push_back(AStart + i);
477     meshIndex->push_back(AStart + i + 1);
478     meshIndex->push_back(AStart + outerRing.size() - i - 2);
479
480 }
481 }
482 else if (xLeft == 2) {
483     rings++;
484     for (int i = rings; i + rings <= innerSub[1]; i++) {
485
486         glm::vec2 point(rings * 1.0f / innerSub[0], i * 1.0f / innerSub[1]);
487         UV.push_back(point);
488         innerRing.push_back(point);
489     }
490
491     meshIndex->push_back(AStart + 0);
492     meshIndex->push_back(BStart + 0);
493     meshIndex->push_back(AStart + outerRing.size() - 1);
494
495     meshIndex->push_back(AStart + 1);
496     meshIndex->push_back(BStart + 0);
497     meshIndex->push_back(AStart + 0);
498
499     meshIndex->push_back(AStart + 2);
500     meshIndex->push_back(BStart + 0);
501     meshIndex->push_back(AStart + 1);
502
503     meshIndex->push_back(AStart + 3);
504     meshIndex->push_back(BStart + 0);
505     meshIndex->push_back(AStart + 2);
506
507
508     const int ALast = outerRing.size() - 1;
509
510     for (int i = 0; i + 1 < innerRing.size(); i++) {
511         meshIndex->push_back(AStart + 3 + i);
512         meshIndex->push_back(AStart + 4 + i);
513         meshIndex->push_back(BStart + i);
514
515         meshIndex->push_back(AStart + 4 + i);
516         meshIndex->push_back(BStart + 1 + i);
517         meshIndex->push_back(BStart + 0 + i);
518
519         meshIndex->push_back(AStart + ALast - i - 1);
520         meshIndex->push_back(BStart + 0 + i);
521         meshIndex->push_back(BStart + 1 + i);
522
523         meshIndex->push_back(AStart + ALast - i - 1);
524         meshIndex->push_back(AStart + ALast - i);
525         meshIndex->push_back(BStart + i);
526     }
527
528     const int AHalf = outerRing.size() / 2;
529     const int BLast = innerRing.size() - 1;
530
531     meshIndex->push_back(AStart + AHalf - 1);
532     meshIndex->push_back(AStart + AHalf);
533     meshIndex->push_back(BStart + BLast);
534
535     meshIndex->push_back(AStart + AHalf);
536     meshIndex->push_back(AStart + AHalf + 1);
537     meshIndex->push_back(BStart + BLast);

```

```

538     meshIndex->push_back(AStart + AHalf + 1);
539     meshIndex->push_back(AStart + AHalf + 2);
540     meshIndex->push_back(BStart + BLast);
541
542
543     meshIndex->push_back(AStart + AHalf + 2);
544     meshIndex->push_back(AStart + AHalf + 3);
545     meshIndex->push_back(BStart + BLast);
546 }
547 else if (yLeft == 2) {
548     rings++;
549     for (int i = rings; i + rings <= innerSub[0]; i++) {
550         glm::vec2 point(i * 1.0f / innerSub[0], rings * 1.0f / innerSub[1]);
551         UV.push_back(point);
552         innerRing.push_back(point);
553     }
554
555     const int ALast = outerRing.size() - 1;
556
557     meshIndex->push_back(AStart + 1);
558     meshIndex->push_back(BStart + 0);
559     meshIndex->push_back(AStart + 0);
560
561     meshIndex->push_back(AStart + 0);
562     meshIndex->push_back(BStart + 0);
563     meshIndex->push_back(AStart + ALast);
564
565     meshIndex->push_back(AStart + ALast - 1);
566     meshIndex->push_back(AStart + ALast);
567     meshIndex->push_back(BStart + 0);
568
569     meshIndex->push_back(AStart + ALast - 2);
570     meshIndex->push_back(AStart + ALast - 1);
571     meshIndex->push_back(BStart + 0);
572
573
574
575
576     for (int i = 0; i + 1 < innerRing.size(); i++) {
577         meshIndex->push_back(AStart + 1 + i);
578         meshIndex->push_back(AStart + 2 + i);
579         meshIndex->push_back(BStart + i);
580
581         meshIndex->push_back(AStart + 2 + i);
582         meshIndex->push_back(BStart + 1 + i);
583         meshIndex->push_back(BStart + 0 + i);
584
585         meshIndex->push_back(AStart + ALast - i - 3);
586         meshIndex->push_back(BStart + 0 + i);
587         meshIndex->push_back(BStart + 1 + i);
588
589         meshIndex->push_back(AStart + ALast - i - 3);
590         meshIndex->push_back(AStart + ALast - i - 2);
591         meshIndex->push_back(BStart + i);
592     }
593
594     const int AHalf = outerRing.size() / 2;
595     const int BLast = innerRing.size() - 1;
596
597     meshIndex->push_back(AStart + AHalf - 3);
598     meshIndex->push_back(AStart + AHalf - 2);
599     meshIndex->push_back(BStart + BLast);
600
601

```

```

602     meshIndex->push_back(AStart + AHalf - 2);
603     meshIndex->push_back(AStart + AHalf - 1);
604     meshIndex->push_back(BStart + BLast);
605
606     meshIndex->push_back(AStart + AHalf - 1);
607     meshIndex->push_back(AStart + AHalf);
608     meshIndex->push_back(BStart + BLast);
609
610     meshIndex->push_back(AStart + AHalf);
611     meshIndex->push_back(AStart + AHalf + 1);
612     meshIndex->push_back(BStart + BLast);
613 }
614
615 }
616 const glm::mat4 M(glm::vec4(-1, 3, -3, 1), glm::vec4(3, -6, 3, 0), glm::vec4
    (-3, 3, 0, 0), glm::vec4(1, 0, 0, 0));
617
618
619
620
621 glm::vec4 pAx, pAy, pAz, pBx, pBy, pBz;
622 if (glm::all(glm::equal(curveA[0], curveA[1])) && glm::all(glm::equal(curveA
    [2], curveA[3]))) {
623     glm::vec3 a03(glm::mix(curveA[0], curveA[3], 0.3 f)), a06(glm::mix(curveA[0],
    curveA[3], 0.6 f));
624
625     pAx = glm::vec4(curveA[0].x, a03.x, a06.x, curveA[3].x);
626     pAy = glm::vec4(curveA[0].y, a03.y, a06.y, curveA[3].y);
627     pAz = glm::vec4(curveA[0].z, a03.z, a06.z, curveA[3].z);
628
629 }
630 else {
631     pAx = glm::vec4(curveA[0].x, curveA[1].x, curveA[2].x, curveA[3].x);
632     pAy = glm::vec4(curveA[0].y, curveA[1].y, curveA[2].y, curveA[3].y);
633     pAz = glm::vec4(curveA[0].z, curveA[1].z, curveA[2].z, curveA[3].z);
634
635 }
636
637 if (glm::all(glm::equal(curveB[0], curveB[1])) && glm::all(glm::equal(curveB
    [2], curveB[3]))) {
638     glm::vec3 b03(glm::mix(curveB[0], curveB[3], 0.3 f)), b06(glm::mix(curveB
    [0], curveB[3], 0.6 f));
639
640     pBx = glm::vec4(curveB[0].x, b03.x, b06.x, curveB[3].x);
641     pBy = glm::vec4(curveB[0].y, b03.y, b06.y, curveB[3].y);
642     pBz = glm::vec4(curveB[0].z, b03.z, b06.z, curveB[3].z);
643
644 }
645 else {
646     pBx = glm::vec4(curveB[0].x, curveB[1].x, curveB[2].x, curveB[3].x);
647     pBy = glm::vec4(curveB[0].y, curveB[1].y, curveB[2].y, curveB[3].y);
648     pBz = glm::vec4(curveB[0].z, curveB[1].z, curveB[2].z, curveB[3].z);
649
650 }
651 const glm::mat4 MGMx = M* glm::mat4(pAx, glm::mix(pAx, pBx, 0.3 f), glm::mix(pAx,
    pBx, 0.6 f), pBx) * glm::transpose(M);
652 const glm::mat4 MGMy = M* glm::mat4(pAy, glm::mix(pAy, pBy, 0.3 f), glm::mix(
    pAy, pBy, 0.6 f), pBy) * glm::transpose(M);
653 const glm::mat4 MGMz = M* glm::mat4(pAz, glm::mix(pAz, pBz, 0.3 f), glm::mix(
    pAz, pBz, 0.6 f), pBz) * glm::transpose(M);
654
655 for (int i = 0; i < UV.size(); i++) {
656     glm::vec2 uv = UV[i];
657     glm::vec4 U(uv.x*uv.x*uv.x, uv.x*uv.x, uv.x, 1), V(uv.y*uv.y*uv.y, uv.y*uv.
    y, uv.y, 1);

```

```

657 float px = glm::dot(U, MGMx*V);
658 float py = glm::dot(U, MGMy*V);
659 float pz = glm::dot(U, MGMz*V);
660
661 meshVertex->push_back(glm::vec3(px, py, pz));
662
663 glm::vec4 dU(3*uv.x*uv.x, 2*uv.x, 1, 0), dV(3*uv.y*uv.y, 2*uv.y, 1, 0);
664
665 float ux = glm::dot(dU, MGMx*V);
666 float uy = glm::dot(dU, MGMy*V);
667 float uz = glm::dot(dU, MGMz*V);
668
669 float vx = glm::dot(U, MGMx*dV);
670 float vy = glm::dot(U, MGMy*dV);
671 float vz = glm::dot(U, MGMz*dV);
672
673 glm::vec3 du = glm::normalize(glm::vec3(ux, uy, uz));
674 glm::vec3 dv = glm::normalize(glm::vec3(vx, vy, vz));
675
676 glm::vec3 normal = glm::normalize(glm::cross(dv, du));
677
678
679 meshNormals->push_back(normal);
680
681 }
682
683 }

```

### Código C.2: Triángulo

```

1 void ShipBodyModel::triangulateTriangle(const std::vector<glm::vec3>& curveA,
2   const glm::vec3 & curveB, float subdivisions, float scale, std::vector<glm
3   ::vec3>* meshVertex, std::vector<GLuint>* meshIndex, std::vector<glm::vec3
4   >* meshNormals, std::vector<glm::vec2>* meshRS, bool flipTriangleOrder)
5 {
6   const int vertexStart = meshVertex->size();
7   const int indexStart = meshIndex->size();
8   const int normalsStart = meshNormals->size();
9   const int uvStart = meshRS->size();
10
11   //build a equilateral triangle centered at the origin
12   const glm::vec2 triangle[3] = { glm::vec2(0, 1), glm::vec2(-0.866025, -0.5),
13     glm::vec2(0.866025, -0.5) };
14
15   const int outerSub[3] = {
16     glm::length(curveA[3] - curveA[0])*subdivisions + 2,
17     glm::length(curveB - curveA[3])*subdivisions + 2,
18     glm::length(curveB - curveA[0])*subdivisions + 2,
19   };
20
21   const int innerSub = (outerSub[0] + outerSub[1] + outerSub[2]) / 3;
22
23   std::vector<glm::vec3> UV;
24
25   std::vector<glm::vec2> outerRing, innerRing;
26
27   //-----
28   //First
29   //Ring
30   //-----

```

```

31
32 //A Segment
33 for (int i = 0; i < outerSub[0]; i++) {
34     glm::vec3 baryPoint(glm::mix(glm::vec3(1.0f,0.0f,0.0f), glm::vec3(0.0f, 1.0
35         f, 0.0f), i * 1.0f / outerSub[0]));
36     glm::vec2 point(glm::mix(triangle[1], triangle[2], i * 1.0f / outerSub[0]))
37         ;
38     UV.push_back(baryPoint);
39     outerRing.push_back(point);
40 }
41
42 //AB Segment
43 for (int i = 0; i < outerSub[1]; i++) {
44     glm::vec3 baryPoint(glm::mix(glm::vec3(0.0f, 1.0f, 0.0f), glm::vec3(0.0f,
45         0.0f, 1.0f), i * 1.0f / outerSub[1]));
46     glm::vec2 point(glm::mix(triangle[2], triangle[0], i * 1.0f / outerSub[1]))
47         ;
48     UV.push_back(baryPoint);
49     outerRing.push_back(point);
50 }
51
52 //BA Segment
53 //inverse
54 for (int i = 0; i < outerSub[2]; i++) {
55     glm::vec3 baryPoint(glm::mix(glm::vec3(0.0f, 0.0f, 1.0f), glm::vec3(1.0f,
56         0.0f, 0.0f), i * 1.0f / outerSub[2]));
57     glm::vec2 point(glm::mix(triangle[0], triangle[1], i * 1.0f / outerSub[2]))
58         ;
59     UV.push_back(baryPoint);
60     outerRing.push_back(point);
61 }
62
63 int AStart = vertexStart, BStart = AStart + outerRing.size();
64
65 //Base cases
66 if (outerSub[0]<2 && outerSub[1]<2 && outerSub[2]<2) {
67     if (flipTriangleOrder) {
68         meshIndex->push_back(AStart + 0);
69         meshIndex->push_back(AStart + 2);
70         meshIndex->push_back(AStart + 1);
71     }
72     else {
73         meshIndex->push_back(AStart + 0);
74         meshIndex->push_back(AStart + 1);
75         meshIndex->push_back(AStart + 2);
76     }
77 }
78
79 else if (innerSub < 3) {
80     glm::vec3 baryPoint(1.0f / 3.0f, 1.0f / 3.0f, 1.0f / 3.0f);
81
82     UV.push_back(baryPoint);
83
84     for (int i = 0; i < outerRing.size(); i++) {
85         if (flipTriangleOrder) {
86             meshIndex->push_back(AStart + (1 + i) % outerRing.size());
87             meshIndex->push_back(BStart);
88             meshIndex->push_back(AStart + 0 + i);

```

```

89     }
90     }
91     else {
92         meshIndex->push_back(AStart + (1 + i) % outerRing.size());
93         meshIndex->push_back(AStart + 0 + i);
94         meshIndex->push_back(BStart);
95     }
96 }
97
98 }
99 else {
100     const float scaleFactor = -(1.0f / innerSub - 0.5) * 2;
101     const glm::vec2 reducedTriangle[3] = { triangle[0]*scaleFactor, triangle[1]
        * scaleFactor, triangle[2] * scaleFactor };
102     const glm::vec3 reducedTriangleBarycenter[3] = {
103         barycentric(reducedTriangle[0], triangle[1], triangle[2], triangle[0]),
104         barycentric(reducedTriangle[1], triangle[1], triangle[2], triangle[0]),
105         barycentric(reducedTriangle[2], triangle[1], triangle[2], triangle[0])
106     };
107
108     //A Segment
109     for (int i = 0; i < innerSub - 2; i++) {
110
111         glm::vec2 point(glm::mix(reducedTriangle[1], reducedTriangle[2], i * 1.0f
            / (innerSub - 2)));
112         glm::vec3 baryPoint(barycentric(point, triangle[1], triangle[2], triangle
            [0]));
113
114
115
116         UV.push_back(baryPoint);
117         innerRing.push_back(point);
118     }
119
120
121     //AB Segment
122     for (int i = 0; i < innerSub - 2; i++) {
123         glm::vec2 point(glm::mix(reducedTriangle[2], reducedTriangle[0], i * 1.0f
            / (innerSub - 2)));
124         glm::vec3 baryPoint(barycentric(point, triangle[1], triangle[2], triangle
            [0]));
125
126
127         UV.push_back(baryPoint);
128         innerRing.push_back(point);
129     }
130
131
132     //BA Segment
133     //inverse
134     for (int i = 0; i < innerSub - 2; i++) {
135         glm::vec2 point(glm::mix(reducedTriangle[0], reducedTriangle[1], i * 1.0f
            / (innerSub - 2)));
136         glm::vec3 baryPoint(barycentric(point, triangle[1], triangle[2], triangle
            [0]));
137
138
139
140         UV.push_back(baryPoint);
141         innerRing.push_back(point);
142     }
143
144
145     int i = 0, j = 0;

```

```

146 int segment = 0;
147 int maxI = 0, maxJ = 0;
148 while (segment < 3) {
149     maxI += outerSub[segment];
150     maxJ += innerSub - 2;
151     while (i < maxI && j < maxJ) {
152         glm::vec2 distItoJ = outerRing[i] - innerRing[(j + 1) % innerRing.size
153             ()];
154         glm::vec2 distJtoI = outerRing[(i + 1) % outerRing.size()] - innerRing[
155             j];
156         float lengthIToJ = glm::length(distItoJ), lengthJToI = glm::length(
157             distJtoI);
158         if (glm::length(distItoJ) < glm::length(distJtoI)) {
159             if (flipTriangleOrder) {
160                 meshIndex->push_back(BStart + j % innerRing.size());
161                 meshIndex->push_back(AStart + i % outerRing.size());
162                 meshIndex->push_back(BStart + (j + 1) % innerRing.size());
163             }
164             else {
165                 meshIndex->push_back(BStart + j % innerRing.size());
166                 meshIndex->push_back(BStart + (j + 1) % innerRing.size());
167                 meshIndex->push_back(AStart + i % outerRing.size());
168             }
169             j++;
170         }
171         else {
172             if (flipTriangleOrder) {
173                 meshIndex->push_back(BStart + j % innerRing.size());
174                 meshIndex->push_back(AStart + i % outerRing.size());
175                 meshIndex->push_back(AStart + (i + 1) % outerRing.size());
176             }
177             else {
178                 meshIndex->push_back(BStart + j % innerRing.size());
179                 meshIndex->push_back(AStart + (i + 1) % outerRing.size());
180                 meshIndex->push_back(AStart + i % outerRing.size());
181             }
182             i++;
183         }
184     }
185     while (i < maxI && i < outerRing.size()) {
186         if (flipTriangleOrder) {
187             meshIndex->push_back(BStart + j % innerRing.size());
188             meshIndex->push_back(AStart + i % outerRing.size());
189             meshIndex->push_back(AStart + (i + 1) % outerRing.size());
190         }
191         else {
192             meshIndex->push_back(BStart + j % innerRing.size());
193             meshIndex->push_back(AStart + (i + 1) % outerRing.size());
194             meshIndex->push_back(AStart + i % outerRing.size());
195         }
196     }
197     i = i + 1;
198 }
199 while (j < maxJ && j < innerRing.size()) {
200     if (flipTriangleOrder) {
201         meshIndex->push_back(BStart + j % innerRing.size());
202         meshIndex->push_back(AStart + i % outerRing.size());
203         meshIndex->push_back(BStart + (j + 1) % innerRing.size());
204     }
205 }
206

```

```

207     else {
208         meshIndex->push_back(BStart + j % innerRing.size());
209         meshIndex->push_back(BStart + (j + 1) % innerRing.size());
210         meshIndex->push_back(AStart + i % outerRing.size());
211     }
212     j = j + 1;
213 }
214 segment++;
215 }
216
217 //update starting point for indexing points
218 AStart = BStart;
219 BStart += innerRing.size();
220
221
222
223
224
225 outerRing = innerRing;
226 innerRing.clear();
227
228 int rings = 1;
229 while (innerSub - rings * 2 > 2) {
230     rings++;
231
232
233     const float scaleFactor = -(rings * (1.0f / innerSub) - 0.5) * 2;
234     const glm::vec2 reducedTriangle[3] = { triangle[0] * scaleFactor,
235         triangle[1] * scaleFactor, triangle[2] * scaleFactor };
236     const glm::vec3 reducedTriangleBarycenter[3] = {
237         barycentric(reducedTriangle[0], triangle[0], triangle[1], triangle[2]),
238         barycentric(reducedTriangle[1], triangle[0], triangle[1], triangle[2]),
239         barycentric(reducedTriangle[2], triangle[0], triangle[1], triangle[2])
240     };
241
242     //A Segment
243     for (int i = 0; i < innerSub - 2*rings; i++) {
244
245         glm::vec2 point(glm::mix(reducedTriangle[1], reducedTriangle[2], i *
246             1.0f / (innerSub - 2*rings)));
247         glm::vec3 baryPoint(barycentric(point, triangle[1], triangle[2],
248             triangle[0]));
249
250         UV.push_back(baryPoint);
251         innerRing.push_back(point);
252     }
253
254     //AB Segment
255     for (int i = 0; i < innerSub - 2*rings; i++) {
256         glm::vec2 point(glm::mix(reducedTriangle[2], reducedTriangle[0], i *
257             1.0f / (innerSub - 2*rings)));
258         glm::vec3 baryPoint(barycentric(point, triangle[1], triangle[2],
259             triangle[0]));
260
261         UV.push_back(baryPoint);
262         innerRing.push_back(point);
263     }
264
265     //BA Segment

```



```

266 //inverse
267 for (int i = 0; i < innerSub - 2*rings; i++) {
268
269     glm::vec2 point(glm::mix(reducedTriangle[0], reducedTriangle[1], i *
270         1.0f / (innerSub - 2*rings)));
271     glm::vec3 baryPoint(barycentric(point, triangle[1], triangle[2],
272         triangle[0]));
273
274     UV.push_back(baryPoint);
275     innerRing.push_back(point);
276 }
277
278
279
280
281 int i = 0, j = 0;
282 int segment = 0;
283 int maxI = 0, maxJ = 0;
284 while (segment < 3) {
285     maxI += innerSub - 2 * (rings - 1);
286     maxJ += innerSub - 2 * rings;
287     while (i < maxI && j < maxJ) {
288         glm::vec2 distItoJ = outerRing[i] - innerRing[(j + 1) % innerRing.
289             size()];
290         glm::vec2 distJtoI = outerRing[(i + 1) % outerRing.size()] -
291             innerRing[j];
292         float lengthItoJ = glm::length(distItoJ), lengthJtoI = glm::length(
293             distJtoI);
294         if (glm::length(distItoJ) < glm::length(distJtoI)) {
295             if (flipTriangleOrder) {
296                 meshIndex->push_back(BStart + j % innerRing.size());
297                 meshIndex->push_back(AStart + i % outerRing.size());
298                 meshIndex->push_back(BStart + (j + 1) % innerRing.size());
299             }
300             else {
301                 meshIndex->push_back(BStart + j % innerRing.size());
302                 meshIndex->push_back(BStart + (j + 1) % innerRing.size());
303                 meshIndex->push_back(AStart + i % outerRing.size());
304             }
305             j++;
306         }
307         else {
308             if (flipTriangleOrder) {
309                 meshIndex->push_back(BStart + j % innerRing.size());
310                 meshIndex->push_back(AStart + i % outerRing.size());
311                 meshIndex->push_back(AStart + (i + 1) % outerRing.size());
312             }
313             else {
314                 meshIndex->push_back(BStart + j % innerRing.size());
315                 meshIndex->push_back(AStart + (i + 1) % outerRing.size());
316                 meshIndex->push_back(AStart + i % outerRing.size());
317             }
318             i++;
319         }
320     }
321     while (i < maxI && i < outerRing.size()) {
322         if (flipTriangleOrder) {
323             meshIndex->push_back(BStart + j % innerRing.size());
324             meshIndex->push_back(AStart + i % outerRing.size());
325             meshIndex->push_back(AStart + (i + 1) % outerRing.size());

```

```

325     }
326
327     else {
328         meshIndex->push_back(BStart + j % innerRing.size());
329         meshIndex->push_back(AStart + (i + 1) % outerRing.size());
330         meshIndex->push_back(AStart + i % outerRing.size());
331     }
332
333
334     i = i + 1;
335 }
336 while (j < maxJ && j < innerRing.size()) {
337     if (flipTriangleOrder) {
338         meshIndex->push_back(BStart + j % innerRing.size());
339         meshIndex->push_back(AStart + i % outerRing.size());
340         meshIndex->push_back(BStart + (j + 1) % innerRing.size());
341
342     }
343     else {
344         meshIndex->push_back(BStart + j % innerRing.size());
345         meshIndex->push_back(BStart + (j + 1) % innerRing.size());
346         meshIndex->push_back(AStart + i % outerRing.size());
347     }
348     j = j + 1;
349 }
350 segment++;
351 }
352
353
354 AStart = BStart;
355 BStart += innerRing.size();
356
357
358 outerRing = innerRing;
359 innerRing.clear();
360 }
361
362
363
364
365
366 if (innerSub - rings*2 == 1) {
367     if (flipTriangleOrder) {
368         meshIndex->push_back(AStart + 0);
369         meshIndex->push_back(AStart + 1);
370         meshIndex->push_back(AStart + 2);
371
372     }
373     else {
374         meshIndex->push_back(AStart + 0);
375         meshIndex->push_back(AStart + 2);
376         meshIndex->push_back(AStart + 1);
377     }
378 }
379 else if (innerSub - rings * 2 == 2) {
380
381     glm::vec3 baryPoint(1.0f/3.0f, 1.0f / 3.0f, 1.0f / 3.0f);
382
383     UV.push_back(baryPoint);
384
385     for (int i = 0; i < outerRing.size(); i++) {
386         if (flipTriangleOrder) {
387             meshIndex->push_back(AStart + (1 + i) % outerRing.size());
388             meshIndex->push_back(BStart);

```

```

389     meshIndex->push_back(AStart + 0 + i);
390
391     }
392     else {
393         meshIndex->push_back(AStart + (1 + i) % outerRing.size());
394         meshIndex->push_back(AStart + 0 + i);
395         meshIndex->push_back(BStart);
396     }
397 }
398 }
399
400
401 }
402
403
404
405
406 glm::vec3 B003, B102, B201, B300, B012, B111, B210, B021, B120, B030;
407
408 B300 = curveA[0];
409 B030 = curveA[3];
410 B003 = curveB;
411 if (glm::all(glm::equal(curveA[0], curveA[1])) && glm::all(glm::equal(curveA
412     [2], curveA[3]))) {
413     glm::vec3 a03(glm::mix(curveA[0], curveA[3], 0.3f)), a06(glm::mix(curveA
414     [0], curveA[3], 0.6f));
415
416     B210 = a03;
417     B120 = a06;
418 }
419 else {
420     B210 = curveA[1];
421     B120 = curveA[2];
422 }
423
424 B201 = glm::mix(curveA[0], curveB, 0.3f);
425 B102 = glm::mix(curveA[0], curveB, 0.6f);
426
427 B021 = glm::mix(curveA[3], curveB, 0.3f);
428 B012 = glm::mix(curveA[3], curveB, 0.6f);
429
430 B111 = glm::mix(glm::mix(B210, B012, 0.5f), glm::mix(B120, B102, 0.5f), 0.5f);
431
432 for (int i = 0; i < UV.size(); i++) {
433     float u = UV[i].x;
434     float v = UV[i].y;
435     float w = UV[i].z;
436
437     float uu = u*u, uuu = uu*u;
438     float vv = v*v, vvv = vv*v;
439     float ww = w*w, www = ww*w;
440
441     glm::vec3 point = B030*vvv + 3.0f*B120*u*vv + 3.0f*B021*vv*w +
442     3.0f*B210*uu*v + 6.0f*B111*u*v*w + 3.0f * B012*v*ww +
443     B300*uuu + 3.0f * B201 * uu*w + 3.0f*B102 * u*ww + B003*www;
444
445     meshVertex->push_back(point);
446
447
448     glm::vec3 du = B210*uu + B030*vv + B012*ww +
449     2.0f*B120*u*v + 2.0f*B111*u*w + 2.0f*B021*w*v -
450     (B300*uu + B120*vv + B102*ww +

```

```
451     2.0f*B210*u*v + 2.0f*B201*w*u + 2.0f*B111*w*v);
452     glm::vec3 dv = B201*uu + B021*vv + B003*ww +
453     2.0f*B111*v*u + 2.0f*B102*w*u + 2.0f*B012*w*v -
454     (B300*uu + B120*vv + B102*ww +
455     2.0f*B210*u*v + 2.0f*B201*w*u + 2.0f*B111*w*v);
456
457     du = glm::normalize(du);
458     dv = glm::normalize(dv);
459
460     if (flipTriangleOrder)
461         meshNormals->push_back(glm::normalize(glm::cross(dv, du)));
462     else
463         meshNormals->push_back(glm::normalize(glm::cross(du, dv)));
464 }
465
466 }
```

---

---

## APÉNDICE D

# Subdivisión de una cinta en parches

---

```
1 std::vector<glm::vec3> A;
2 std::vector<glm::vec3> B;
3
4 std::vector<glm::vec3> meshVertex;
5 std::vector<GLuint> meshIndices;
6 std::vector<glm::vec3> meshNormals;
7 std::vector<glm::vec2> meshRS;
8
9
10 A = sections[sectionStart].getControlPoints();
11 B = sections[sectionStart + 1].getControlPoints();
12
13 float angleA = sections[sectionStart].getRotation();
14 glm::mat4 rotA = glm::rotate(glm::mat4(), angleA, glm::vec3(0,0,1));
15 for (int i = 0; i < A.size(); i++) {
16     A[i] = glm::vec3(rotA*glm::vec4(A[i],1.0f));
17 }
18
19 float angleB = sections[sectionStart+1].getRotation();
20 glm::mat4 rotB = glm::rotate(glm::mat4(), angleB, glm::vec3(0, 0, 1));
21 for (int i = 0; i < B.size(); i++) {
22     B[i] = glm::vec3(rotB*glm::vec4(B[i], 1.0f));
23     B[i].z = 1;
24 }
25
26
27 std::vector<glm::vec3> AB;
28
29 for (int i = 0; i < A.size(); i++) {
30     AB.push_back(A[i]);
31 }
32
33 for (int i = 0; i < B.size(); i++) {
34     AB.push_back(B[i]);
35 }
36
37 std::vector<GLuint> indices;
38
39 if (A.size()==0) {
40
41
42
43     auto pcb = sections[sectionStart + 1].getTransformedControlPoints();
44     auto pb = pcb.begin();
45     for (int i = 0; i+3 < pcb.size(); i += 3) {
```

```

46
47     int jy = i ;
48
49     std::vector<glm::vec3> curveB(pb + jy , pb + jy + 4);
50     auto pointA = sections[sectionStart].getCurve();
51
52     triangulateTriangle(curveB, pointA[0], 10.0f, 0.0f, &meshVertex, &
53         meshIndices, &meshNormals, &meshRS);
54 }
55 for (int i = 0; i+1 < B.size(); i++) {
56     indices.push_back(i + 1);
57     indices.push_back(0);
58     indices.push_back(i+2);
59 }
60 else if (B.size() == 0) {
61
62     auto pca = sections[sectionStart].getTransformedControlPoints();
63     auto pa = pca.begin();
64     for (int i = 0; i+3 < pca.size(); i += 3) {
65         int ix = i ;
66
67
68
69         std::vector<glm::vec3> curveA(pa + ix , pa + ix + 4);
70         auto pointB = sections[sectionStart + 1].getCurve();
71
72
73         triangulateTriangle(curveA, pointB[0], 10.0f, 0.0f, &meshVertex, &
74             meshIndices, &meshNormals, &meshRS, true);
75     }
76     for (int i = 0; i+1 < A.size(); i++) {
77         indices.push_back(i);
78         indices.push_back(i + 1);
79         indices.push_back(A.size());
80     }
81 }
82 else {
83
84
85     float minDist = 1.0e20;
86     int minI = -1, minJ = -1;
87     for (int i = 0; i < A.size(); i += 3) {
88         for (int j = 0; j < B.size(); j += 3) {
89             glm::vec2 dist = A[i] - B[j];
90             float distf = glm::length(dist);
91             if (distf < minDist) {
92                 minDist = distf;
93                 minI = i;
94                 minJ = j;
95             }
96         }
97     }
98
99 }
100
101 int despA = 0, despB = A.size();
102
103 int i = 0, j = 0;
104 i = minI, j = minJ;
105 int nextI = (minI + 3) % (A.size() - 1), nextJ = (minJ + 3) % (B.size() - 1);
106
107 int numTriangles = A.size() / 3 + B.size() / 3;

```

```

108
109 while (numTriangles > 0)
110 {
111
112     glm::vec3 AB = A[nextI] - A[i],
113     AC = B[j] - A[i],
114     AD = B[nextJ] - A[i];
115     //check if the quad isn't coplanar
116
117     glm::vec2 distItoJ = A[i] - B[nextJ];
118     glm::vec2 distJtoI = A[nextI] - B[j];
119
120     float lengthItoJ = glm::length(distItoJ), lengthJtoI = glm::length(distJtoI);
121
122     if (glm::epsilonNotEqual(glm::dot(AD, glm::cross(AB, AC)), 0.0f, 0.0001f) || (
123         lengthItoJ > 2 * lengthJtoI || lengthJtoI > 2 * lengthItoJ)) {
124
125         if (lengthItoJ > lengthJtoI) {
126
127             auto pca = sections[sectionStart].getTransformedControlPoints();
128             auto pa = pca.begin();
129             int ix = i;
130
131             auto pcb = sections[sectionStart + 1].getTransformedControlPoints();
132             auto pb = pcb.begin();
133             int jy = j;
134
135             std::vector<glm::vec3> curveA(pa + ix, pa + ix + 4);
136
137
138             triangulateTriangle(curveA, *(pb + jy), 10.0f, 0.0f, &meshVertex, &
139                 meshIndices, &meshNormals, &meshRS, true);
140
141
142             i = nextI;
143             nextI = (i + 3) % (A.size() - 1);
144             numTriangles -= 1;
145         }
146         else {
147
148
149
150             auto pca = sections[sectionStart].getTransformedControlPoints();
151             auto pa = pca.begin();
152             int ix = i;
153
154             auto pcb = sections[sectionStart + 1].getTransformedControlPoints();
155             auto pb = pcb.begin();
156             int jy = j;
157
158             std::vector<glm::vec3> curveB(pb + jy, pb + jy + 4);
159
160             triangulateTriangle(curveB, *(pa + ix), 10.0f, 0.0f, &meshVertex, &
161                 meshIndices, &meshNormals, &meshRS);
162
163             j = nextJ;
164             nextJ = (j + 3) % (B.size() - 1);
165             numTriangles -= 1;
166         }
167     }

```

```
168     }
169     else {
170         //makeCurveIndex(A, B, i, j, ComponentSection::numPointsPerCurve,
171             ComponentSection::numPointsPerCurve, &indices);
172
173         auto pca = sections[sectionStart].getTransformedControlPoints();
174         auto pa = pca.begin();
175         int ix = i;
176
177         auto pcb = sections[sectionStart + 1].getTransformedControlPoints();
178         auto pb = pcb.begin();
179         int jy = j;
180
181         std::vector<glm::vec3> curveA(pa + ix, pa + ix + 4), curveB(pb + jy, pb +
182             jy + 4);
183
184         triangulateQuadrilateral(curveA, curveB, 10.0f, 0.0f, &meshVertex, &
185             meshIndices, &meshNormals, &meshRS);
186
187         j = nextJ;
188         nextJ = (j + 3) % (B.size() - 1);
189
190         i = nextI;
191         nextI = (i + 3) % (A.size() - 1);
192
193         numTriangles -= 2;
194     }
195 }
196 }
```